Instituto Superior Minero Metalúrgico FACULTAD METALURGIA ELECTROMECANICA

HOJA

No. _

REPUBLICA DE CUBA

Ministerio de Educación Superior

Instituto Superior Minero Metalúrgico

MOA - HOLGUIN

.

TRABAJO DE DIPLOMA

* * *

Titulo: Algunas consideraciones acerca del espesamiento de la pulpa en el proceso metalúrgico de la Fábrica "Cmdte. Pedro Sotto Alba".

Autora: Martha Montero Matos.

Tutora: Elsy Ferrer.

Curso: 1988 - 1989.

* * *

Instituto Superior Minero Metalúrgico FACULTAD METALURGIA ELECTROMECANICA

HOJA

No. _

DEDICATORIA

Dedico este trabajo que ha sido el resultado de un gran esfuerzo durante muchos años a quienes me dieron vida, me supieron educar y enseñar el camino correcto.

A mis padres y hermanos.

A mis futuros hijos.

Instituto Superior Minero Metalúrgico FACULTAD METALURGIA ELECTROMECANICA

HOJA

No. _

AGRADECIMIENTOS

Quiero agradecer con gran sinceridad a todas las personas que me han ayudado, no sólo en la realización de este trabajo, sino a todos los que me han dado su ayuda intelectual o espiritualmente para poder llegar hasta aquí:

Muy especialmente: A mi amor Rafael García; a mis grandes amigas Caridad Terrero, Adela Triana y Rafaela Fuentes; a Rogelio García, a mi compañera de mesa en el aula durante los seis años, Josefina Olmos a los profesores que he tenido durante la carrera, a mis compañeros de trabajo especialmete Luis Rojas Purón, Gerardo Orozco Melgar y al profesor José Falcón, a los compañeros del Laboratorio de Microscopía Electrónica de Sanidad Vegetal en Holguín y en la Habana: Alexander (asesor sovietico), Javier Sanpedro, Wilma Estelvina, René García, Alberto (kiko), Dagoberto Rodriguez, A los compañeros del CIME en la Habana, Julio Bregado, a mi tutora Elsy Ferrer.

Agradesco en general a todos los que se han preocupado porque este trabajo saliera bien.

Instituto Superior Minero Metalúrgico FACULTAD METALURGIA ELECTROMECANICA

HOJA

No. ___

INDICE

	Pág.
Introducción	1
PARTE GENERAL.	
CAPITULO I Nociones Generales del Proceso	
Hidrometalúrgico de la fábrica "Cmate.	
Pedro Sotto Alba de Moa. Esquema	
	3
tecnológico	
I.1 Características del mineral tratado	6
I.2 Proceso de Espesadores de Pulpa.	
Esquema tecnológico	8
I.3 Características de los Espesadores	11
I.4 Aspectos teóricos sobre el espesa-	
miento de las pulpas	12
I.5 Factores que influyen en el	
espesamiento	14
CAPITULO II Estudio bibliográfico de trabajos	
realizados sobre el mineral limonítico	
y el proceso de sedimentación en la	
fábrica Cmdte. Pedro Sotto Alba de	
Moa	18
PARTE ESPECIAL.	
CAPITULO II Materiales y Métodos de investigación	
utilizados	23
	23
I.1 Espectrofotometría de Absorción	
Atómica	25

Instituto Superior Minero Metalúrgico FACULTAD METALURGIA ELECTROMECANICA

HOJA

No. __

1.8	Fluorescencia de rayos X	26
I.3	Análisis por difracción de rayos X	27
I.4	Resultados del trabajo	29
CAPITULO II	Microscopía Electrónica. Aspectos	
	teóricos	36
II.1	Análisis en el Microscopio Electrónico	
	de transmisión	40
11.2	Análisis en el Microscopio Electrónico	
	de Barrido	47
II.2.1	Tamaño de partícula. Método de	
	Realización y de cálculo	48
II.3	Análisis Roentgnométrico por el	
	Microscopio Electrónico	55
II.4	Resultado del trabajo	57
PARTE FINAL.		
CAPITULO I.1	Conclusiones	64
s.I	Recomendaciones	67
1.3	Bibliografía	69
1.4	Anexos gráficos y tablas	71

Instituto Superior Minero Metalúrgico FACULTAD METALURGIA ELECTROMECANICA

HOJA

No. 1

INTRODUCCION

Obtener el porciento de sólido requerido en la pulpa limonítica (47.8 %) en la Planta de Espegadores de Pulpa de la empresa Cmdte. Pedro Sotto Alba de Moa, implicaría un mejor aprovechamiento de los índices técnico - económico en el proceso hidrometalúrgico beneficiando esto nuestra economía.

Alrededor del 45 % de sólido son los valores que generalmente se obtienen en el proceso; para mejorar estas cifras se han realizado varios trabajos investigativos que en la mayoria de los casos los resultados obtenidos a escala de laboratorio fueron buenos, pero al trasladarlo a escala industrial la respuesta no ha sido la misma. De aquí se desprende que el proceso de sedimentación aunque parezca sencillo, consta de una gran complejidad y que la búsqueda de soluciones a este problema sea constante haciendo uso de todos los medios que nos brindan los grandes logros de la ciencia y la técnica.

Es por esto que el objetivo de nuestro trabajo está encaminado a brindar información que posibilite estudiar mejor los factores que influyen en el proceso de sedimentación.

Instituto Superior Minero Metalúrgico FACULTAD METALURGIA ELECTROMECANICA

HOJA

No. 2

Para ello se hizo un muestreo en un momento sedimentación regular (43,5 %) de sólido ; valorandose la composición, mineralógica y química de muestras representativas del material limonítico mediante las siguientes técnicas de investigación.

- Análisis Químico por Absorción Atómica y Fluorescencia de rayos X.
- Difracción de Rayos X.
- Microscopía Electrónica de Transmisión.
- Microscopía Electrónica de Barrido.

Constituye un logro fundamentalmente los resultados obtenidos por el método de microscopía electrónica ya que nos permitió estudiar las formas, distribución, asociación y tamaño de las partículas minerales en el seno de la suspensión dentro del espesador.

Instituto Superior Minero Metalúrgico FACULTAD METALURGIA ELECTROMECANICA

HOJA

No. __

PARTE GENERAL

Instituto Superior Minero Metalúrgico FACULTAD METALURGIA ELECTROMECANICA

HOJA

No. _ 3

CAPITULO 1.

NOCIONES GENERALES DEL PROCESO HIDROMETALURGICO DE LA FABRICA "CMDTE. PEDRO SOTTO ALBA" DE MOA.

Esta fábrica está proyectada para separar los valores metálicos de niquel y cobalto de los minerales de limonita de la zona de Moa y producir un concentrado de niquel cobalto en forma de sulfuro [1].

La misma procesa alrededor de 1 745 100 tn de mineral por año ó 4 986 tn por día, con un análisis de 1,38 % de niquel y 0,12 % de cobalto.

De este mineral tratado se producen alrededor de 120 to de concentrados de niquel por día con un contenido de 55,8% de niquel y 5,1% de cobalto. El presente estimado demuestra que hay una reserva de mineral suficiente como para operar la planta a la capacidad mencionada por un período de 50 años aproximadamente.

El mineral extraido a cielo abierto es enviado a la Planta de Preparación de Pulpa y sometido a un proceso de beneficio donde es mezclado con agua y pasado a través de diferentes mallas, las cuales tienen la finalidad de obtener una pulpa con partículas menores e iguales que $5.84 * 10^3 m$, (0.023 pulg), que cae en un colector de donde se alimenta por gravedad a través de una linea de concreto de $6.09 * 10^4 m$ (24 pulg.) de diámetro a la Planta de Espesadores de Pulpa, aquí el propósito primordial de

esta planta es producir una pulpa espesada de aproximadamente 47,8 % de sólido, de la pulpa que se recibe, la cual llega con 25 - 30 % de sólido.

Esta pulpa espesada es alimentada a los reactores de Lixiviación, cuyo objetivo es disolver los óxidos de niquel y cobalto en forma de sulfatos mediante el H_2SO_2 al 98 % como reactivo químico.

Estos reactores operan a 246 °C y 3 657 880,4 Pa (37,3 kg/cm). Bajo estas condiciones de temperatura y presión, el niquel y el cobalto son disueltos como sales de sulfatos, dejando un residuo de mineral: la pulpa lixiviada, consistente en mineral lixiviado y licor que contienen niquel y cobalto, la cual enviada a la Planta de Lavaderos, donde mediante un sistema de decantación de 7 etapas y lavado a contracorriente se logra:

- a. separar la parte líquida de la sólida.
- b. lavar el mineral sedimentado para extraerle la mayor cantidad de niquel y cobalto posible.
- El mineral lixiviado y lavado es enviado a un estanque o presa de colas donde se conserva para un futuro proceso como mineral de hierro (47 %) aproximadamente.
- El líquido "licor" conteniendo sulfato de niquel y cobalto es bombeado a la Planta de Neutralización donde se crean las condiciones para la posterior precipitación de niquel y cobalto. Aquí se eleva el

Instituto Superior Minero Metalúrgico FACULTAD METALURGIA ELECTROMECANICA

HOJA

No. 5

pH mediante la adición de pulpa de coral (CaCO3) y se elimina H2S.

El licor producto es calentado posteriormente a la neutralización y bombeado hacia la Planta de Precipitación de Sulfuros. En esta planta el licor producto es tratado con H2S para precipitar el niquel y el cobalto mediante reacciones químicas de reducción lo que se ejecuta en autoclaves horizontales con agitación mecánica bajo la temperatura, agitación y acción del H2S, el niquel y el cobalto son precipitados como sulfuros en forma de partículas negras y densas.

La pulpa de sulfuros (65 % de sólido) es enviada a la Planta de Secado en el Puerto, mediante camiones trompos o sulfoteras, donde se almacena y se envasa en contenedores, se le disminuye la humedad, secandolo hasta un 15 - 25 % en el propio contenedor. Finalmente se almacena y rotula para su embarque como sulfuro de niquel y sulfuro de cobalto. Ver (fig. 1).

Instituto Superior Minero Metalurgico FACULTAD METALURGIA ELECTROMECANICA

HOJA

No. _ 6

I.1 - CARACTERISTICAS DEL MINERAL TRATADO.

La materia prima principal de la fábrica es la limonita que se encuentra en la parte superior del yacimiento.

Su composición mineralógica esta dada por:

- Goethita
- Magnetita
- Hematita
- Magemita
- Cuarzo
- Hidrargilita
- Caolinita

- Cromita

- La serpentina es un horizonte por debajo del
- horizonte limonítico compuesta por:
- Antigorita o Lisardita
- Cloritas
- Cuarzo
- Goethita
- Magnetita
- Nepouita

óxidos e hidróxidos de hierro con contenido de niquel y cobalto.

mineral de aluminio.

silicatos de Mg con contenido de niquel e hierro.

silicato de niquel y magnesio.

Instituto Superior Minero Metalúrgico FACULTAD METALURGIA ELECTROMECANICA

HOJA

No. 7

La composición química de la limonita está dada por:

Fe - 47,5 %

AL - 5.0 %

Cr - 2,0 %

Ni - 1,38 %

Mg - 0,70 %

Co - 0,14 %

Cu - 0,024 %

Zn - 0,04 %

Mn - 0,76 %

Si02 - 4,2 %.

HOJA

No. 8

I.2 - PROCESO DE ESPESADORES DE PULPA.

La sección de espesadores de pulpa es el paso final de la producción de una pulpa de mineral acuosa, para la consiguiente operación de lixiviación [5].

El propósito primordial de esta planta es producir una pulpa espesada, de aproximadamente 47,8 % de sólido. Para ello se recibe el mineral (pulpa) de 25 - 30 % de sólido y con un tamaño aproximadamente de las partículas que provienen de la sección de preparación de 5,84 * 10⁻⁴ m (0,023 pulg.).

El mineral se transporta por gravedad, a través de una linea de concreto de 6,09 * 10⁻¹ m (24 pulg.) de diámetro y es descargado en el compartimiento de alimentación de una caja distribuidora diseñada para distribuir dos flujos: el de la pulpa de alimentación para los tanques de espesadores y el de la pulpa espesada. Esta última, a su vez, puede ser transferida en tres flujos más: recirculación para el mismo tanque, recirculación de un tanque espesador para otro y abastecimiento a la planta de lixiviación. Las tres últimas operaciones pueden realizarse a la vez cuando así lo requiera el proceso Durante la operación normal las esclusas de la caja distribuidora son dispuestas de manera que la pulpa de alimentación (25 al 30 % de sólido) sea distribuida en uno o en ambos espesadores conjuntamente con la parte excesiva del producto final que se bombea a lixiviación.

El proceso de espesamiento se realiza en tres tanques espesadores de 113 m (376 pie) de diámetro en la parte superior. Estos con capacidad para almacenar de 18 000 a 25 000 tn y están diseñados para manipular pulpa de 52-54 % de sólido. Además, están provistos de un mecanísmo de rastrillos de dos brazos que giran dando una vuelta completa cada 45 min.

La pulpa, debidamente espesada, es extraida de los sedimentadores o espesadores por medio de bombas centrífugas y enviada a la planta de lixiviación.

Esta operación puede realizarse directamente o pasándola por el compartimiento correspondiente de la caja distribuidora.

El agua de reboso de los espesadores es succionada por bombas centrífugas y enviada, a través de una tubería de acero al carbono de 2,54 * 10⁻¹ m (10 pulg.) de diámetro a la planta de preparación de pulpa.

Como protección contra cualquier golpe de agua que pueda ocurrir en el sistema referido, esta instalado un tanque de amortiguamiento, acoplado a un compresor. Este tiene la función de mantener un 50 % de la capacidad del tanque ocupado por aire y el resto por agua, para lograr de esta forma el efecto de amortiguamiento. El tanque se encuentra al principio de la linea para absorver cualquier impacto repentino que pueda ocurrir, producto del retorno del agua.

Instituto Superior Minero Metalúrgico FACULTAD METALURGIA ELECTROMECANICA

HOJA

No. 10

El aire en este amortiguador se suministra automáticamente y el nivel de agua se controla, de igual modo, por un nivel de flota.

En el caso en que el nivel de agua en los espesadores esté por debajo del deseado, se restablece mediante las bombas que succionan de la alimentación, procedente de la planta de agua "A". Estas mismas bombas se utilizan para alimentar agua al cono de los espesadores cuando presentan sobrecargas (sólido excesivo) o en caso de obstáculos en la salida de los mismos, además para el agua de servicio doméstico.

En esta planta todas las bombas utilizadas, tanto para el bombeo de la pulpa como para el agua de reboso o las de dilución, son centrífugas y accionadas por motores eléctricos. Ver «fig. 2».

HOJA

No. 11

I.3 - CARACTERISTICAS DE LOS ESPESADORES

Los espesadores son tanques de forma cilíndrica y fondo cónico. Poseen un diámetro mayor con relación a su altura con gran área de espesamiento. Estan provistos de brazos o rastrillos los cuales son accionados por un mecanismo eléctrico, moviendolos radialmente cercano al fondo del tanque; la función de estos rastrillos es transportar el sólido espesado desde la periferia hacia el centro del tanque y al mismo tiempo ayudar al espesamiento por acción mecánica sobre la pulpa pero sin agitar.

La pulpa espesada es evacuada del sedimentador por el fondo del tanque por medio de bombas centrífugas y conducida a la caja distribuidora o directamente a la planta de lixiviación.

En la parte superior del tanque existe una canal de reboso; su función es retornar el agua liberada producto del espesamiento de la pulpa, a través de bombas y por una tubería hasta la planta de Preparación de Pulpa, para lavar el mineral.

Según teoría del espesamiento [12] a medida que este proceso tiene lugar dentro del tanque se diferencian 4 etapas fundamentales.

- 1ra. etapa. Licor clarificado.
- 2da. etapa. Sedimentación libre.
- 3ra. etapa. Sedimentación contrariada o transición.
- 4ta. etapa. Pulpa espesada o compresión.

El trabajo se ha realizado en las 3 primeras etapas que a la vez se subdividen en varias capas (fig 3).

I.4 - ASPECTOS TEORICOS SOBRE EL ESPESAMIENTO DE LAS PULPAS.

Fundamento teóricos sobre sedimentación.

La separación de partículas en suspensión constituye una etapa previa a cualquier procedimiento motivado por la presencia de sólidos precipitables o en suspensión.

El modelo hidrodinámico para el movimiento de partículas en medios fluidos resulta de la consideración de las diferentes fuerzas intrínsecas y externas que actúen simultáneamente, cuya entidad relativa, como es sabido, depende en gran medida del del rango de tamaños de las partículas. Así, la presencia dominante de fuerzas de agitación térmicas, fuerzas gravitacionales, electrostáticas, de inercia electromagnéticas, fuerzas de adhesión y cohesión y fuerzas de rozamiento de forma y superficie, pueden determinar la transición entre el mecanísmo de difusión y el de sedimentación, la relación entre la tendencia a la dispersión y a la coagulación [2].

La sedimentación, de acuerdo con la concentración de partículas y el estado de agregación de las mismas, presenta diversas formas. En realidad, y durante el fenómeno de sedimentación, la transición entre cada una de estas formas es gradual a medida que aumenta la concentración, por lo que estas formas pueden considerarse como las distintas etapas en el

Instituto Superior Minero Metalúrgico FACULTAD METALURGIA ELECTROMECANICA

HOJA -

No. 13

mecanismo de sedimentación.

La compresión de partículas sedimentadas se produce con suspensiones altamente concentradas, donde las partículas o agregados están en contacto físico unos con otros y el fluido comienza a ser desalojado de una especie de esponja sólida que incluso con manifestación de pequeñas erupciones, se comprimen progresivamente.

A este respecto, es bien diferente el comportamiento de soluciones floculadas y no floculadas. Realmente en las suspensiones no floculadas no existe la compresión, sino un reagrupamiento final en torno a la porosidad de equilibrio.

Los diferentes grados de compactación se pueden clasificar, de acuerdo con la intensidad de las fuerzas presentes en:

. Agrupación, empaquetamiento de partículas, inclusión sólida, fusión de cristales.

Instituto Superior Minero Metalúrgico FACULTAD METALURGIA ELECTROMECANICA

HOJA

No. 14

I.B - FACTORES QUE INFLUYEN EN EL ESPESAMIENTO.

- CONCENTRACION INICIAL:

Al aumentar la concentración inicial disminuye la velocidad de sedimentación y la claridad del sobrenadante.

Talmage y Fitch realizaron experimentos discontinuos de igual altura inicial, pero variando la concentración inicial de suspensión, encontrando que a mayor concentración inicial se obtiene mayor concentración en el fondo.

Sin embargo para Pearse, al aumentar la concentración inicial disminuye la concentración en el fondo hasta un mínimo, a partir del cual aumenta. Este mínimo se produce como consecuencia de la disminución de la compresión en bajas concentraciones con menor capa superior de lodos para prevenir el escape de fluido, aumentar la compresión, y más pequeño empaquetamiento de flóculos en altas concentraciones.

También es muy importante conseguir una suspensión homogénea; de lo contrario, apareceran fenómenos de sedimentación diferencial.

Los mejores métodos de homogenización son los de inversión de la probeta y el empleo de plunger.

- TAMAÑO DE PARTICULAS:

Las partículas de mayor tamaño tienden a sedimentar más rapidamente, pero si son partículas muy pequeñas tienden a flotar y el proceso se hace más lento.

Instituto Superior Minero Metalúrgico FACULTAD METALURGIA ELECTROMECANICA

HOJA

No. 15

- DENSIDAD:

Posee estrecha relación con el tamaño, si la densidad de la partícula es menor que la del fluido en el cuál se introducen, flotarán en el seno del líquido, y si es superior iran al fondo.

- AGITACION:

Se consideran dos formas de agitación: integral y localizada.

Agitación de toda la suspensión.

Se emplean diversos métodos: inyección de aire, bombas, paletas y emisión ultrasónica. Estos métodos tratan de romper las fuerzas entre partículas, aunque según Vesilind sirve para minimizar el efecto pared (incluso encontró que el efecto de agitación disminuye al aumentar el diámetro de la probeta).

Agitación del fondo de la suspensión.

Pretende destruir la consolidación en el fondo consiguiendo una mayor concentración del sólido.

Una agitación suave aumenta la velocidad de sedimentación, aunque no se han encontrado relaciones cuantitativas entre la intensidad de la agitación y la velocidad de sedimentación.

Todo esto serviría para soportar la hipótesis de que las fuerzas interpartículas son responsables de la desviaciones del comportamiento ideal, pero no contribuyen a la descripción cuantitativa de las características de la sedimentación.

HOJA

No. 15

- TEMPERATURA:

Generalmente la velocidad de sedimentación aumenta al incrementar la temperatura y consecuentemente disminuir la viscosidad del medio.

Sin embargo, no se cumple la relación.

us- velocidad de sedimentación; m s⁻¹.

"F- viscosidad del fluido; kg m s

Y esto es debido a que la temperatura da lugar a fenómenos contrapuestos.

- EFECTO DEL TIEMPO:

Free establece que el aumento de la concentración con el tiempo el fondo del tanque discontinuo se debe a que las fuerzas compresivas, aumentan con el tiempo, a causa del incremento del peso de los sólidos en la zona de compresión.

Por su parte, Coe y Cleverger, establecieron que una suspensión en una probeta de baja altura comprime más rapidamente que una de mayor altura, y que por lo tanto, para la misma duración del experimento permanece más tiempo espesando.

De ahí concluyen que la compresión es función del tiempo.

Shirato y Cols encontraron experimentalmenteque que la distribución de concentraciones con el tiempo

Instituto Superior Minero Metalúrgico FACULTAD METALURGIA ELECTROMECANICA

HOJA

No. 17

varía. Al principio la concentración en el fondo aumenta rápidamente, mientras que en la parte superior permanece casi constante; después de la zona de concentración constante desaparecerá gradualmente y aumenta la concentración hasta el total desarrollo de la distribución de concentración.

HOJA

No. 18

CAPITULO II.

ESTUDIO BIBLIOGRAFICO DE TRABAJOS REALIZADOS SOBRE EL MINERAL LIMONITICO Y EL PROCESO DE SEDIMENTACION EN LA FABRICA CMDTE. PEDRO SOTTO ALBA DE MOA.

En el trabajo [6] se plantea que los dos factores principales más influyentes en el proceso de sedimentación son: a). la composición granulométrica del componente sólido en la pulpa y b). la composición iónica de fase líquida en la pulpa.

La primera se explica porque más del 60 % de las partículas tienen un tamaño menor de 10 micrones, explicandose que en el yacimiento, estas partículas, junto con las de mayor temaño forman concreciones (terrones) los cuales comienzan a desintegrarse en el proceso de lavado a que es sometido el mineral. El rompimiento de las concreciones, hasta lograr toda la separación de las partículas sólidas, depende de la maceración (tiempo de contacto del mineral con el agua) y de la agitación mecánica a que es sometida la pulpa; por lo que se plantea que el proceso de preparación de pulpa (lavado), el tiempo de contacto del mineral con el agua y también las condicones naturales del mineral deben resultar factores influyentes en el grado de rompimiento de las concreciones y por lo tanto en la composición granulométrica de la pulpa que llega a espesadores.

Instituto Superior Minero Metalúrgico FACULTAD METALURGIA ELECTROMECANICA

HOJA

No. 19

La compoción iónica de la pulpa, o sea, la presencia de los diferentes iones en una u otra concentración, van a influir decisivamente en el fenómeno de dispersión (repulsión) y coagulación (adhesión) de las partículas muy pequeñas entre sí o con las partículas mayores.

El trabajo [7] presenta resultados preliminares de las investigaciones mineralógicas de la pulpa cruda de la planta "Pedro Sotto Alba" de Moa, tomando tres muestras una en la planta de preparación de pulpa, una a la salida de esta planta y la tercera de la pulpa que entra a los tanques de sedimentación.

En el análisis granulométrico por vía húmeda, obtuvieron 4 clases de tamaño: + 0.10 mm; - 0.10 mm; + 0.074 mm; - 0.074 mm; + 0.044 y - 0.0 44 mm. Destacando un aumento significativo de los por ciento recuperados hacia la clase - 0.044 mm en todas las muestras observandose un aumento de 8.28 % de esta misma clase, del mineral a la pulpa.

A la clasificación microgranulométrica sometieron la clase 0,044 mm, experimentando el predominio de la clase 44-30 µmen cada una de las muestras, además detectando que hacia la muestra 3 hay un aumento del 3%. No conociendo como puede reflejarse este aumento de las clases finas del mineral hacia la pulpa en la sedimentación.

En el análisis mineralógico - petrográfico, realisado por medio de un microscopio binocular estereoscópico y microscopio de luz polarizada, les permitieron determinar los minerales presentes en las mismas: Goethita, Magnetita, Gibbsita, Cromo - espinelas, Serpentina, minerales de manganeso, Cuarzo y Pirita.

En el trabajo [8], se relizó un estudio granulométrico de la pulpa cruda lateríca en el que se plantea que la fracción dispersa (< 37 µm) es de un 82 - 87 %, en la cual la fracción < 1 µm) alcanza valores de 37 - 48 %. El contenido de grumos de diferentes tamaños de 5 -53 % alcanza valores de 15 hasta 25 % de la masa de la pulpa cruda, incrementándose aparentemente el grado de polidispersidad de la fracción dispersa.

En el trabajo [9], se realizó el análisis físico - mineralógico de las fracciones dispersas (< 37 µm) de la pulpa cruda del mineral lateríco, mediante las técnicas de difracción de rayos - X y análisis térmico.

En él se plantea que la goethita constituye un mineral muy abundante y posiblemente es el principal mineral portador de niquel. En los roentgnogramas de la fracción (1 μ m) se detectan los reflejos característicos de la goethita, hidrogoethita y hematita, donde estos minerales presentan

probablemente desorden reticular, debido entre otras 3+ cosas a sustituciones isomórficas reticulres de Fe , 2+ 2+ por Ni y Mn .

Al calentar la goethita empieza a destruirse y a los 250 °C y que durante una hora a 300 °C la destrución escasi total transformandose lentamente en hematita. La hidargilita en la fracción (< 1 μ), su comportamiento roentgnográfico al ser tratada la muestra de polvo térmicamente a 300 °C y a 1000 °C durante una hora, lo que se observó la extinción de todos los reflejos que determinaban la fase hidrargilita, ya a los 1000 °C determinó la presencia de óxido e hidróxidos de Al en la fracción y por lo tanto la presencia de Hidrargilita.

Según el predominio de las fases minerales Mn2O3 y MnO2 en las muestras temperizadas hace suponer la existencia predominante de psilomeno en las muestras sin temperizar.

En las curvas de ATD de las diferentes fracciones aparece una deflexión aproximadamente de 80 a 105 °C que según criterios de varios autores esto se debe a un efecto de tamaño muy pequeño del cristal de goethita principalmente.

Se concluye entonces que la fracción (< 37 μ) de la pulpa cruda laterítica está constituida fundamentalmente por goethita + hidrogoethita, hematita, magnetita, magemita, lepidocrosita; y oxihidróxidos de Al, Mn y Cr, el contenido de estos

Instituto Superior Minero Metalúrgico FACULTAD METALURGIA ELECTROMECANICA

HOJA

No. 22

últimos parece que a medida que aumenta el tamaño del grano, él se incrementa.

Plantea además que la goethita e hidrogoethita se manifientan con cierto grado de desorden reticular ante la difracción de rayos - X y el análisis térmico, debido en cierta medida a sustituciones isomórficas de Fe por Al.

Expone finalmente que las sustituciones isomórficas en los oxihidróxidos de Fe como de Al. Mn son las causas directas e indirectas de la retención adicional del agua percola entre los grumos y dentro de los mismos, así como en su formación.

Instituto Superior Minero Metalúrgico FACULTAD METALURGIA ELECTROMECANICA

HOJA

No. ___

PARTE ESPECIAL

No. 23

CAPITULO I.

MATERIALES Y METODOS DE INVESTIGACION UTILIZADOS.

Muestreo:

El muestreo fue realizado en el tanque "A" de la planta por ser el que menor porciento de sólido tenía en el nivel (0,0) ó pulpa espesada hasta ese momento, según análisis realizado en la planta en cada turno (transverso) este era igual a 43,5 %. Fueron tomadas 10 muestras a diferentes niveles de profundidad correspondientes a la parte de la pulpa que se no ha sedimentado; con el objetivo de realizar un muestreo más uniforme dentro del tanque se tomaron un número mayor de muestras a las analizadas en el transverso; por esta razón encontraremos algunas muestras de las que no tenemos el porciento de sólido en su lugar (*).

"TK- 1A". Espesadores de Pulpa. 43,5 % de sólido.

TURNO: 11.	00 A.M - 7.00 PM.	FECHA: 28-3-1989
MUESTRA	NIVEL EN TANQUE	% SOLIDO
1	PULPA DE ENTRADA	25 - 30
2	9,00 M (30 PIE)	AGUA DE REBOSO
3	8,70 M (29,0 PIE)	AGUA DE REBOSO
4	8,40 M (28,0 PIE)	19,72
5	7,95 M (26,5 PIE)	20 , 19
6	7,50 M (25,0 PIE)	*
?	6,90 M (23,0 PIE)	**
В	6,45 M (21,5 PIE)	27,72
9	5,40 M (18,0 PIE)	**
10	4,95 M (16,5 PIE)	33,29

De acuerdo al tipo de método empleado para la realización del análisis, las muestras de pulpa se clasificaran en:

- <u>sólido en suspensión:</u> pequeñas partículas que macroscópicamente su presencia se denota por ofrecer cierta turbidéz al agua (lamas).
- <u>sólido seco:</u> es la pulpa homogenea y secada a $temperatura menor de 40 <math>^{\circ}C$.

Los métodos de investigación utilizados para analizar las muestras anteriores son:

- 1. Análisis químico por Espectrofotometría de Absorción Atómica y Fluorescencia de rayos X.
- 2. Difracción de rayos X.
- 3. Microscopía Electrónica de Transmisión.
- 4 Microscopía Electrónica de Barrido.

I.1 - ESPECTROFOTOMETRIA DE ABSORCION ATOMICA.

Se realizó en el Laboratorio Central de la Pedro Sotto Alba; este método es muy utilizado para la determinación de los elementos presentes en una solución, ya sea en trazas o en concentraciones. La muestra líquida se pulveriza y el areosol así producido se conduce a una llama de acetileno - aire. Los elementos contenidos en la disolución se transforman en la llama ampliamente en el estado base atómico. Los átomos absorven con preferencia radiación de la longitud de onda que corresponden al paso del estado base. La raya de resonancia necesaria para la absorción se suministra por una lámpara de cátodo hueco de ancho de banda extremadamente pequeño, cuyo material catódico se compone del elemento a determinar. El flujo luminoso del radiador de fondo, atenuado por la absorción atómica, llega a través del monocromador de red al receptor, después de la amplificación realizada la señal llegará a rectificarse de forma sensible a la fase, a promediarse por medio de una constante de tiempo y se indicará.

Metodología para la preparación de las muestras.

El_sólido seco; se trituta, se pasa por una malla de 400 mm, se lleva a la estufa y se seca a 110 °C para eliminarle toda la humedad, posteriormente pesamos 1g de la muestra, se disuelve con una mezcla de acidos

nítrico y clorhídrico en una relación de 3:1, en caliente, llevamos hasta sequedad, redisolvemos con clorhidrico 1:1 y se lleva a volumen exacto para de aquí tomar las diferentes alícuotas para los análisis.

I.2 - FLUORESCENCIA DE RAYOS - X.

La fluorescencia de rayos - X, es un método eficáz para la determinación de los elementos químicos en la muestra. Esta técnica consiste en la excitación de una muestra con radiaciones procedentes de una fuente de rayos - X, la cual al excitarse emite un espectro característico para cada elemento que la integra, de esta forma se selecciona una linea analítica para cada elemento que estamos analizando, mediante el uso de cristales.

La metodología empleada para la elaboración fué el método de compactación. Este método se emplea cuando la composición de la muestra no es muy variada y por lo general en sustancias que puedan ser pulverizadas facilmente.

Luego de la preparación de la muestra (trituración, homegenización y tamaño de 100 µm), se hace una tableta añadiendo al fondo del troquel Acido Bórico como base de la tableta y posteriormente la muestra. Esta tableta es la que se introduce en el equipo para el análisis.

I.3 - ANALISIS POR DIFRACCION DE RAYOS - X.

El análisis por difracción de rayos - X, constituye un método racional y rápido para la identificación y caracterización de minerales y mezclas de minerales, especialmente para aquellas que se presentan en fracción menor de 1 micrón, o sea criptogranulares.

Para aplicar este método es muy importante tener los análisis químicos de las muestras para utilizarlo como una guía o patrón en la búsqueda de los minerales.

El fenómeno de difracción que ocurre al hacer incidir un haz de rayos - X sobre una muestra cristalina en donde bajo las condiciones experimentales según ecuaçión de Bragg, permite el diagnóstico de los minerales y otras sustancias cristalinas estableciendo una relación entre las características estructurales de la sustancia que se procesa y las condiciones experimentales en que se realiza el ensayo.

Expresión matemática de la Ley de Bragg.

 $n\lambda = 2d$. sen θ

donde:

- n.- orden de difracción de la radiación X; n=1,2,3...etc.
- λ . longitud de onda que caracteriza la radiación X con que se trabaja, y depende del tubo (cátodo al vacio) ulizando en este caso el de Co; A
- d. distancia interplanar que caracteriza la familia de planos reticulares de la sustancia cristalina; A^o.

Instituto Superior Minero Metalúrgico FACULTAD METALURGIA ELECTROMECANICA

HOJA
No. <u>28</u>

0. - ángulo de incidencia de la radiación X con respecto a las principales familias de planos reticulares.

El ánalisis fué realizado en el goniómetro HZG-4, con generador de alto voltaje TUR - M-62, el régimen de trabajo fué Co Ka; 40 Kv, 30 mA, 2° /min, T -3, ángulo de barrido 20- 65° , 079/079.

La metodología empleada par la preparación de las muestras fue la propuesta por Grin. [3]

La muestra tiene que ser sólida, por este motivo sólo se le pudo realizar éste tipo de análisis a 8 muestras (1,4,5,6,7,8,9,10).

HOJA

No. 29

I. 4 RESULTADOS DEL TRABAJO.

Por medio del análisis químico pudimos conocer el resultado de 12 elementos, cada muestra se hizo por triplicado y se tomó el valor promedio. Ver (tabla No.1).

Al comparar la pulpa de entrada (muestra 1) con la última capa de sólido en suspensión antes de la pulpa espesada (muestra 10), apreciamos que la concentración de casi todos los elementos analizados, excepto el hierro, varía ligeramente al a travesar las diferentes capas dentro del espesador, esta variación se cuantifica de la siguiente forma para cada elemento:

- Ni - 0.08 - Co - 0.042 - Cu - 0.001

-Mn - 0.070 -Zn - 0.002 -Mg - 0.115

- Na - 0,003 - K - 0,005 - Cr - 0,771

- Si - 2,11.

Para el hierro ocurre lo contrario, a medida que el sólido desciende hacia la pulpa espesada su concentración tiende la aumentar la diferencia notable es de Fe - 2.19 %, esto nos dá una idea de que como el Hierro está presente en grandes cantidades dentro de la muestra y por tener éste un peso específico mayor que el resto de los elementos tienda a sedimentar con mayor rapidéz y en mayor cantidad; sucediendo que las partículas menos pesadas

vallan quedando en los diferentes niveles o capas durante su recorrido, restándole éste suceso % de sólido al producto espesado.

En la etapa de interpretación de los difractogramas pudimos valorar la composición mineralógica de las muestras analizadas representativas de los diferentes niveles dentro del espesador:

Muestra # 1 (representativo de la pulpa de entrada). La fase principal es la GOETHITA con las siguientes distancias interplanares en A.y sus correspondientes intensidades relativas; 4,16000; 2,4502,9); 1,71(25.8); 2,70 33,7 ; 2,19(21.3); 4,97(22,4); 2,57 17,9); como fases minerales secundarias tenemOs HIDRARGILITA con 4,86(70,7); 4,37 R A); 3,34(21.3). con 2,51(69.6); 2,95(24.7; 2,08(13.48); MAGNETI TA 1,71(R.A). Espinela Férrica con 2,473(42,6); 2,08(13,48); 4,75(24,7); 2,89(5,6). HEMATITA con 2,70 33,7); 1,71(25,8); 2,51(R.A); 2,22(1,9). CUARZO con 3,34 21,3); 4,24(R.A); 1,80(8,9).

* En lo adelante la descripción de las otras muestras será como en el caso anterior; siempre él primero será el mineral principal y el resto minerales secundarios.

Muestra # 4 (representativa del nivel de 28 pie)

GOETHITA con 4,19(100); 2,44(71,5); 2,70(41,5);

1,71(29,4; 2,57(29,4); 2,17(26,3); 4,97(21,05).

MAGNETITA 2,51(68,4); 2,95(27.3); 2,09 21.05;

1,71(R. A). HIDRARGILITA 4,86(62,1); 4,73(R. A);

3,34(95,7). ESPINELA FERRICA con 4,30 R.A);

2,46 52,67; 2,09 21,05); 4,73 17,8; 2,04 10,5);

2,89 6,31). HEMATITA 2,70(41.0; 1,71(29.4);

2,51 R.A); 2,21 18,9). CUARZO 3,34(35,7); 4,24(R.A);

1,81(14,7).

Muestra # 5 (representativa del nivel 26 pie).

2,69(48,3); GOETHITA con 4,16(100); 2,44(82,4);

1,71(36,2); 2,19 35,16); 2,57(31,8); 4,97 21,9).

MAGNETITA con 2,51(7,02); 2,94(34,06); 2,10(20,8);

1,71(R.A). HIDRARGILITA con 4,81(61,5; 4,37(R.A);;

4,30(R.A); 3,33 27,4). HEMATITA con 2,69 48,3);

1,71(36,2; 2,51 R.A); 2,21 26,37). ESPINELA FERRICA

con 2,46(45,3); 2,04(16,48); 2,89 17,58; 4,73(23,1).

CUARZO con 3, 33(27,4); 4,24(R.A); 1,80(20,3).

Muestra # 6 (representativa del nivel 25 pie).

GOETHITA con 4,18 4.18); 2,44(81,7); 2,68(48,7);

1,70(40.2); 2,18(34,1); 2,57(30,4); 4,97(24,3).

MAGNETITA con 2,51 80,4); 2,94(36,5); 2,08(23,1);

1,70(R. A). HIDRARGILITA con 4,84(60,9); 4,37(R. A);

4,30(R.A); 3,34(25.6). HEMATITA 2,68(48.8);

1,70(40,2); 2,51(R.A); 2,22(26,8). ESPINELA FERRICA

HOJA

con 2,46(57,31); 2,03(17,07; 2,89(14,6); 4.73(R.A). CUARZO 3, 34(25,6); 4,24(R. A); 1,81(20,73).

Muestra # 7 (representativa del nivel 23 pie).

GOETHITA con 4,16(100); 2,43(73,9; 2,68(46,8; 1,69 36,4); 2,18 36,4); 2,18 27,08). MAGNETITA con 2,51(81,7); 2,93(32,2); 2,11(17,1; 1,69(R.A). HIDRARGILITA con 4,81(65,6); 4,37(R.A); 4,30(R.A); 3,34 27,0 HEMATITA con 2,68(46,8); 1,69 36,4); 2,51 R.A); 2,22(30,3). ESPINELA FERRICA con 2,46(57,3); 2,06(29,1); 2,89(12,5); 4,73(R.A). CUARZO con 3,34 27,01; 4,24(R. AO; 1,81(16,6).

Muestra # 8 (representativa del nivel 21 pie).

GOETHITA con 4,16(100); 2,44(74,4); 2,69(51,0); 1,71(35.1); 2,18(29,7; 2,57(27.6); 4,93(25,0). MAGNETITA con 2,51(7,2); 2,94(30,4); 2,08(26,5); 1,71(R. A). HIDRARGILITA con 4,81(69.1); 4,36(R.A); 3,33(30,5). HEMATITA con 2,69(51.0; 4,30(R. A); 1,71(35,1); 2,51(R.A); 2,23(31,9). ESPINELA FERRICA con 2,46(55,3); 2,06(12,7); 2,89(17,02); 4,73(R.A). CUARZO con 3,33 30.5); 4,24(R.A; 1.81(15,0).

Muetra # 9 (representativa del nivel 18 pie).

GOETHITA con 4,18(100); 2,44(82,5); 2,70(51,2); 1,71(42,5); 2,19(36,2); 2,57(33,75); 4,97(25,0). MAGNETITA con 2,52(90,0); 2,97(31,2); 2,09(27,5); 1,71(R. A). HIDRARGILITA con 4,84(77,5); 4,36(27,5);

No. 33

4,30(R.A; 4,36 22,5 HEMATITA con 2,70(51,2);

1,71(4 5); 2,52(R.A); 2,23(28,25). ESPINELA FERRICA

con 2,46(66,2); 2,05(15,0; 2,70(R.A); 4,73 R.A).

CUARZO con 3,36(22,5); 4,24(R.A); 1,81(17,7).

Muestra # 10 (representativa del nivel 16,5 pie).

GOETHITA con 4,20(100); 2,44(77.1); 2,70(45.6);

1.71(36.2); 2.19(32.7); 2,57(30.4); 4.97(25.0 .

MAGNETITA con 2,55(88.8); 2,95(30.4); 2,11(21.05);

1.71(R. A). HIDRARGILITA con 4,85(60.8 ; 4.36(R A);

4,30(R. A); 3,34(35.0). HEMATITA con 2,70(45.6);

1.71(36.2); 2,55(R. A); 2,23(32.7). ESPINELA FERRICA

con 2,46(60.8); 2,04(18.1); 2,70(R. A); 4,73(R. A).

CUARZO con 3,34(35.0); 4,24(R. A); 1,81(19.9).

Algunas valoraciones sobre la interpretación de los difractogramas.

- 1. El mineral principal debido a que es el posee sus reflejos característicos más intenso en todas los niveles es la Goethita, siendo este uno de los minerales de hierro mayor portador de niquel.
- 2. Existe una peculiaridad que aunque no nos atrevemos a afirmala de forma general, si podemos decir que en nuestro caso la fase secundaria encontrada en la muestra # 1 (pulpa de entrada al espesador). es la Hidrargilita; mientras que en el

Instituto Superior Minero Metalúrgico FACULTAD METALURGIA ELECTROMECANICA

HOJA

resto de las muestras (correspondiente a los diferentes niveles dentro del tanque), la fase mineral que se determina como secundaria es la Magnetita.

- 3. Aparecen además reflejos nuevos para el mineral laterítico que aunque algunos autores habian hablado sobre la posibilidad de existencia de esta fase mineral en el material limonítico [7], no se conocen muchos trabajos realizados en la búsqueda o determinación del mismo. Esta fase mineral cuyos reflejos principales aparecen en el cuadro difractométrico es una Espinela férrica (Mg6.8Fe5.8Al11032).
- 4. Que para realizar el análisis renginométrico, la muestra mineral debe ser sometida a un proceso de beneficio o preparación previa es decir separación granulométrica de partículas por clase de tamaño y separación magnética, electromagnética y no magnética, ya que de esta forma obtendriamos un material a procesar más monomineral donde se podran diferenciar con mayor claridad cada una de las fases presentes.
- 5. En nuestro caso que el resultado del difractograma es de una muestra polimineral donde su interpretación se hace más dificil, en ocaciones un mismo reflejo corresponde a más de un mineral y debido a la gran concentración de algunos minerales la intensidad de

Instituto Superior Minero Metalúrgico FACULTAD METALURGIA ELECTROMECANICA

HOJA

No. 35

su reflejo es muy grande y esto trae consigo que se solape el reflejos de otros minerales menos concentrados no pudiendose determinar con claridad la intensidad del mineral menos concentrado o de la sensación que sus reflejos secundarios puedan ser más intenso que el principal.

Instituto Superior Minero Metalúrgico FACULTAD METALURGIA ELECTROMECANICA

HOJA

No. 36

CAPITULO II.

MICROSCOPIA ELECTRONICA. ASPECTOS TEORICOS.

Microscopio: instrumento de optica con el cual pueden verse considerablemente aumentados, objetos pequeñisimos, incluso los que no son perceptibles a simple vista ni con la lupa.

Microscopio electrónico: instrumento mucho más potente que el microscopio óptico, en el cual los haces luminosos son remplazados por haces de electrones.

Los métodos de cálculo de los recorridos electrónicos en los campos electromagnéticos (independientemente si se utilizan los métodos de la mecánica o de la óptica geométrica) permiten establecer condiciones, bajo las cuales los electrones que salen de algún punto (fuente) se reúnen de nuevo en otro punto (imagen astigmática). El conjunto de campos eléctricos o magnéticos, en los cuales debe moverse el electrón para la obtención de tal imagen, representa "las lentes electrónicas" (magnéticas o electrostáticas) que en la óptica electrónica juegan el mismo rol que las lentes ordinarias en la óptica geométrica). En condiciones favorables (haces paraxiales o lentes electrónicas "corregidas", calculadas de manera correspondientes) la fuente de electrones puede dar una imagen lo suficientemente buena [4].

Esta imagen puede ser fotografiada (si los electrones inciden sobre una placa fotográfica) u observada directamente por el ojo (si los electrones inciden sobre una pantalla fluorescente, la cual se ilumina al ser golpeada por estos). Este es el principio, en que basa su funcionamiento el Microscopio Electrónico, el cual desempeña un papel importante en la técnica moderna.

El microscopio electrónico consta de elementos que son completamente equivalentes a los de un microscopio óptico corriente.

El objeto puede ser "autoluminoso", es decir, el mismo sirve de fuente de electrones (cátodo incandescente o un fotocátodo iluminado) "iluminado" constituyendo la preperación, sobre la cual incide el flujo de electrones (generalmente desde un cátodo incandescente); por supuesto, la preparación debe ser lo suficientemente fina, y los electrones, lo suficientemente rápidos, para que ellos pasen a través de la preparación y lleguen hasta el sistema "óptico". El cálculo del microscopio electrónico según las reglas de la óptica geométrica es completamente natural, ya que, como vimos, la longitud de onda correspondiente a los electrones es muy pequeña. Ella es del orden de algunas milésimas de nanómetro, ya que generalmente se emplean electrones con velocidades bastante altas (que responden a una diferencia de potencial de aceleración de 40 - 60 kV). Sin embargo, como

Instituto Superior Minero Metalúrgico FACULTAD METALURGIA ELECTROMECANICA

HOJA

No. 38

sabemos, para el análisis del problema fundamental acerca del poder separador del microscopio es necesario tomar en cosideración que la longitud de onda no es infinitamente pequeña. Aplicando fórmula d >= \\\ \o /A, hallaremos que el poder separador del microscopio electrónico puede hacerse incomparablemente más grande que en el microscopio ordinario. En efecto, la logitud de onda en el caso del microscopio electrónico es 10 000 - 100 000 veces menor que en el común; por eso, a pesar de que la apertura numérica para los "objetivos" electrónicos aún no es grande aprox. (0,01 - 0,1), de todas maneras el poder separador teórico del microscopio electrónico sobrepasa el poder separador del microscopio óptico miles de veces. En otras palabras, si en microscopio óptico estamos en condiciones de discernir detalles del orden de 200 - 300 nm, con ayuda del microscopio electrónico podremos obtener la imagen de objetos del orden de 0,1 nm, es decir, ver átomos y moléculas.

Los mejores microscopios electrónicos existentes en la actualidad poseen un poder separador próximo a 0,1 nm.

En la URSS los primeros microscopios electrónicos bastante perfectos fueron construidos bajo la dirección del académico A. A. Lébedev.

Una limitación de principio en el poder separador del microscopio electrónico reside, por supuesto, al

Instituto Superior Minero Metalúrgico FACULTAD METALURGIA ELECTROMECANICA

HOJA

No. _39

igual que en el caso del microscopio óptico ordinario, en los fenómenos de difracción originados por la naturaleza ondulatoria de los electrones. Semejante difracción de los electrones puede ser observada de manera inmediata, si se escojen las condiciones del experimento en correspondencia con lo expuesto anteriormente, es decir, de tal manera que las dimensiones lineales de las heterogeneidades espaciales del medio, a través del cual pasa el haz de electrones, sean comparables con la longitud de onda de estos electrones. Esta última es proxima a la longitud de onda de los rayos Roentgen, y por eso las condiciones de observación de la difracción de los electrones y de los rayos Roentgen son parecidas entre sí.

Instituto Superior Minero Metalúrgico FACULTAD METALURGIA ELECTROMECANICA

HOJA

No. 40

II.1 - ANALISIS EN EL MICROSCOPIO ELECTRONICO DE TRANSMISION.

- Condiciones instrumentales y Principio de funcionamiento.

El equipo utilizado es un EMB - 100UR soviético con una resolución de 2 Aº y aumento máximo de 600 000%, y utiliza una fuente de alto voltaje.

Un haz de electrones es bombardeado por el cátodo que al atravezar la muestra éste pasa por tres lentes: lente proyectora, objetiva e intermedia, estas lentes son bobinas electromagnéticas por lo que el aumento ocurre al variar la frecuencia de la corriente, esto nos permite ver la forma y estructura interna de las partículas; siendo esto de gran uso en Sanidad Vegetal, en la medicina y otras ramas de la ciencia.

En nuestro caso el haz de electrones no atraviesa la muestra sino que la contornea ya que estas partículas son densas, por lo que el resultado obtenido es la forma de la partícula, nó su estructura interna, además podemos ver como estan dispuesta en la suspensión y sus asociaciones a otras formas.

Preparación de la muestra para el análisis.

Se analizan los sólidos en suspensión de la muestra.

Por medio de una pipeta Pasteur, se vierte una gota de la suspensión sobre un porta objeto escabado, se sumerje en esta gota una rejilla de cobre de 400

Instituto Superior Minero Metalúrgico FACULTAD METALURGIA ELECTROMECANICA

HOJA

No. 41

mesh. y se deja de 3 - 4 segundos de manera que las partículas en suspensión se adhieran a la membrana de Formvar (es un material trasnparente a los electrones) que es el soporte de la rejilla; se retira con una pinza, secamos con papel de filtro por uno de sus bordes para eliminar el sobrenadante, le añadimos una gota de acetato de Uranilo (contrastante electrónico), se deja secar por unos minutos y ya está lista para trabajar.

En el análisis se procesaron 10 muestras. De las que se obtuvieron fotos que presentamos a continuación las más significativas en diferentes niveles del espesador.

Instituto Superior Minero Metalúrgico FACULTAD METALURGIA ELECTROMECANICA

HOJA

No. 42

Microscopia Electrónica de Trasmisión



M-1 $\alpha - 25.760X$



M-2

Instituto Superior Minero Metalúrgico FACULTAD METALURGIA ELECTROMECANICA

HOJA



M-3 a-56000X



Instituto Superior Minero Metalúrgico FACULTAD METALURGIA ELECTROMECANICA

HOJA



M -5

a-10 300 X



M-6

a-57 800 X

Instituto Superior Minero Metalúrgico FACULTAD METALURGIA ELECTROMECANICA

HOJA



M-6

a - 20 000X



M-9

a-4600 X

Instituto Superior Minero Metalúrgico FACULTAD METALURGIA ELECTROMECANICA

HOJA

No. 46



M -10

a-17700X



a - 35 300 ×

Una Particula ampliana
De la poto anterior (8)

Instituto Superior Minero Metalúrgico FACULTAD METALURGIA ELECTROMECANICA

HOJA

No. 47

- II.2 ANALISIS EN EL MICROSCOPIO ELECTRONICO DE BARRIDO.
- funcionamiento.

El equipo utilizado fue el REM - 100U, la velocidad de barrido es 1000, 20,2, la velocidad de la cámara es B, el microanalizador es por variación de frecuencia, el gas que utiliza es Argón al 10% de Metano, el cristal detector es Floururo de Litio, para el registrador la sensibilidad ($R = 1 \times 10^3$), la constante de tiempo ($\tau = 1$).

El haz de electrones bombardeado por el cátodo choca con la muestra, con éste choque se exitan los átomos de los elementos presente y fluorecen viajando de un nivel a otro de energía, si los electrones viajan del nivel M al nivel K el ángulo detectado será Ka y si por el contrario los electrones viajan del nivel M al nivel L entonces el ángulo detectado será Kß.

Trabajo realizado en el microscopio electrónico de barrido.

- 1. Tamaño de particulas de 9 muestras.
- 2. Análisis roentgenométrico una muestra.

II.2.1 - TAMAÑO DE PARTICULA. METODO DE REALIZACION Y DE CALCULO.

Del sólido seco sin haberlo sometido a separación granulométrica a través de tamices anteriormente. Hasta el momento en la literatura encontrada no aparece información acerca de la preparción de muestras minerales para la este tipo de análisis, según experiencias del Lic. Julio Bregado, del CIME aplicamos el siguiente método consistente en un pequeño pedazo de scottape por el lado que tiene el pegamento se derrama la muestra en polvo; las partículas de polvo quedaran adheridas al scottape, luego se coloca en el portamuestra y se realiza el análisis. Este método es bueno ya que evita que las partículas de polvo puedan quedar sueltas y al incidir el rayo o haz de electrones sobre ellas estas puedan esparcirce dentro del equipo lo que traería ensuciamiento al equipo. La imagen obtenida en el display se amplia y luego se fotografía tratando de encontrar formas más predominantes. Se procesaron 8 muestras y en cada caso se hicieron fotos en el rango de 10, 100 y 1000 X, aunque escojimos para el trabajo las de 100 y 1000 X, mostrando las más significativas.

Instituto Superior Minero Metalúrgico FACULTAD METALURGIA ELECTROMECANICA

HOJA

No. 49

Metodología de cálculo empleada para determinar el tamaño de partículas.

$$\frac{aX}{4} = bX$$

3.
$$= v \cdot f$$
; para llevar a μm .

donde:

ax. - aumento de la pantalla imagen.

4. - disminución de la pantalla de la cámara fotográfica.

bX. - aumento real de la pantalla de la cámara fotográfica.

c. - ancho del cuadrito del negativo.

d. - ancho del cuadrito de la foto.

1. - en cm o en mm.

v. - valor del aumento real convertido en cm ó mm.

f. factor para convertir a μm ; f=1000 si es mm ó f=10 000 si es cm.

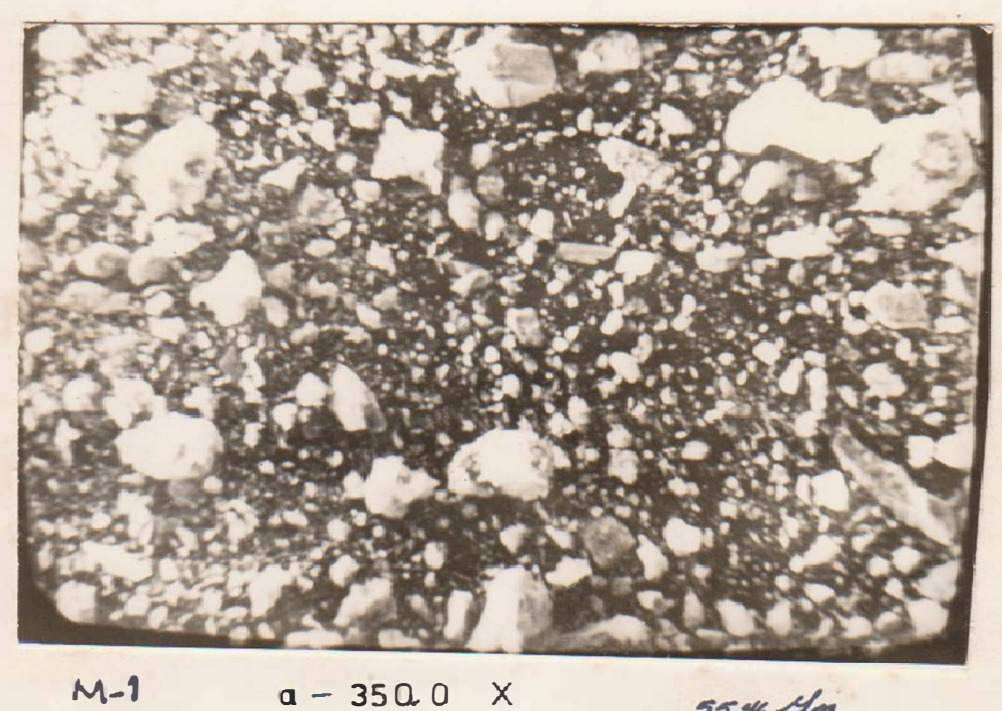
4. El valor de <u>v</u> convertido en μm será el factor por cual se multiplicará el diámetro de la partícula en mm, o en cm para obtener el tamaño real de las patículas en la muestra analizada, ver «tabla No.4».

5. El diámetro de partícula es: $d = \sum_{i=1}^{i=n} d_i + d_2 \dots + d_n$

Instituto Superior Minero Metalúrgico FACULTAD METALURGIA ELECTROMECANICA

HOJA

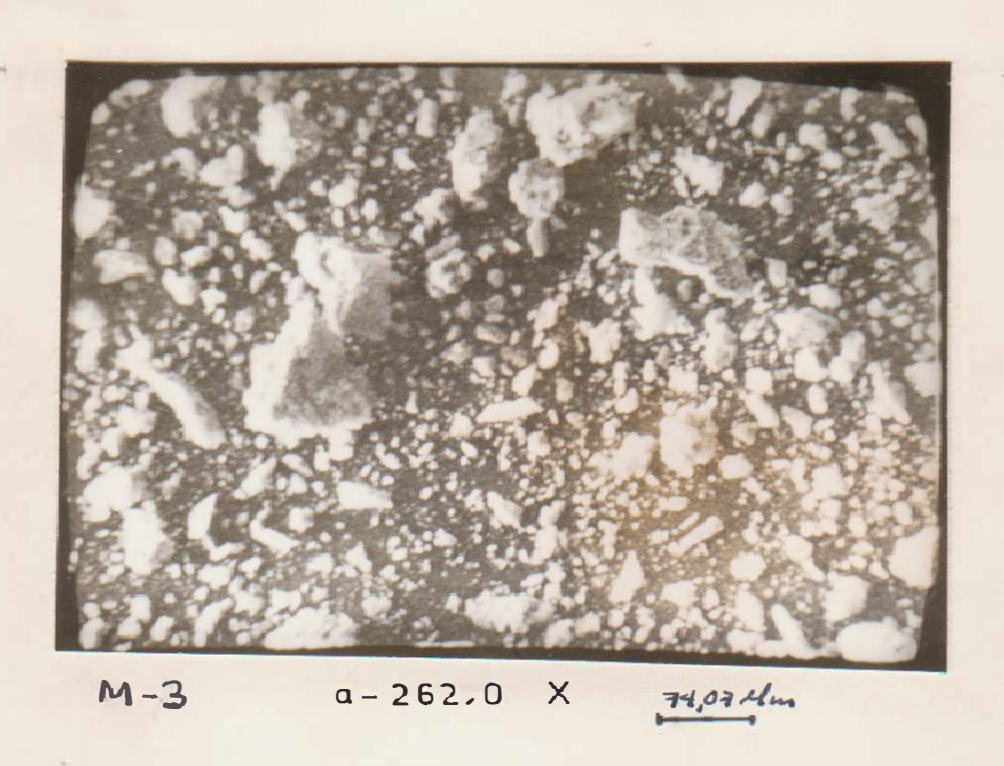


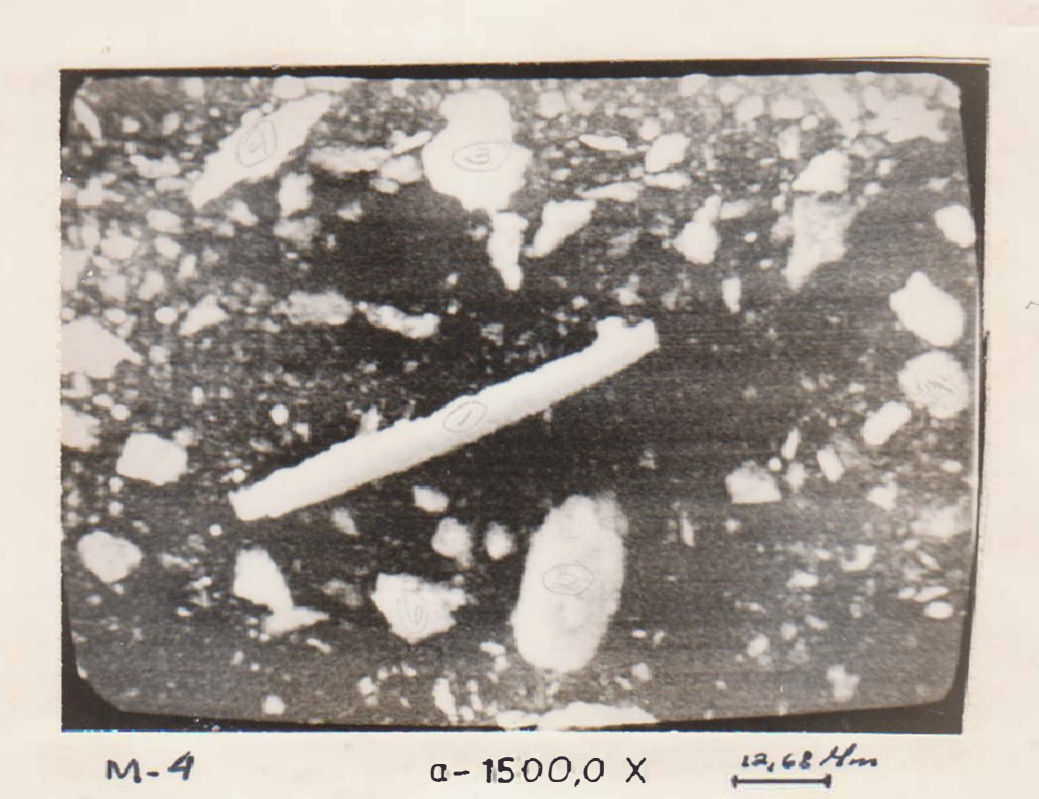


55,46 Mm

Instituto Superior Minero Metalúrgico FACULTAD METALURGIA ELECTROMECANICA

HOJA





Instituto Superior Minero Metalúrgico FACULTAD METALURGIA ELECTROMECANICA

HOJA





M-6

a - 1350,0 X

14,37 Mm

Instituto Superior Minero Metalúrgico FACULTAD METALURGIA ELECTROMECANICA

HOJA



M-7

a - 710.0 X

27.60 Hm



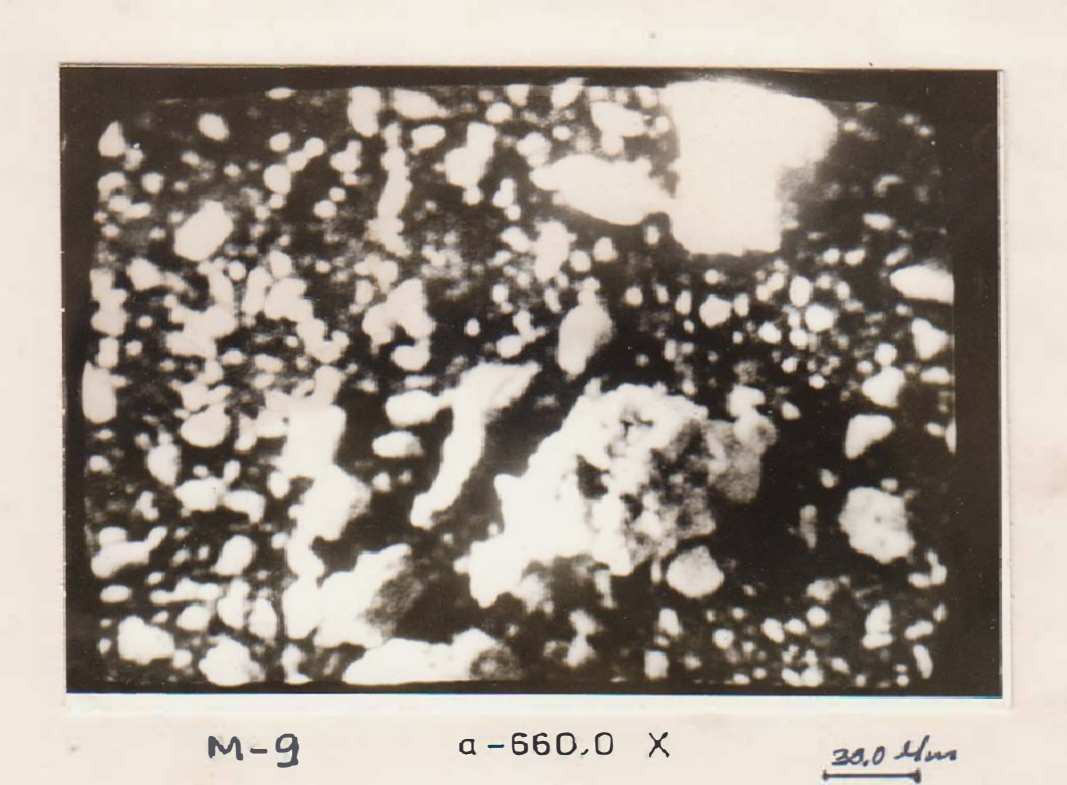
M-8

a - 600,0 X

31,41 Hm

Instituto Superior Minero Metalúrgico FACULTAD METALURGIA ELECTROMECANICA

HOJA





M-10

a - 660.0 X

30,0 Hm

Instituto Superior Minero Metalúrgico FACULTAD METALURGIA ELECTROMECANICA

HOJA

No. 55

II.3 - ANALISIS ROENTGNOMETRICO POR EL MICROSCOPIO ELECTRONICO.

Una porción del <u>sólido seco</u>, compacta se coloca sobre un porta muestra construido con papel de aluminio en forma de cubeta para evitar derrame de partículas sólidas dentro del equipo; esta cubetica se fija con un tornillo pequeño al portamuestra y se sitúan las condiciones instrumentales para comenzar a trabajar como: ángulo de barrido desde 70 a 228° sensiblidad del registrador $R = 1 \times 10^{3}$, y el aumento se sitúa en dependencia de nuestro interés.

Sólo se procesó la muestra # 1 por este método y nó completamente. Ver poto 1-R.

181,94 KX1 Cr 167 K≪1 Mn 139,59 Kp Fe 131,73 K & 1 Ni

Instituto Superior Minero Metalúrgico FACULTAD METALURGIA ELECTROMECANICA

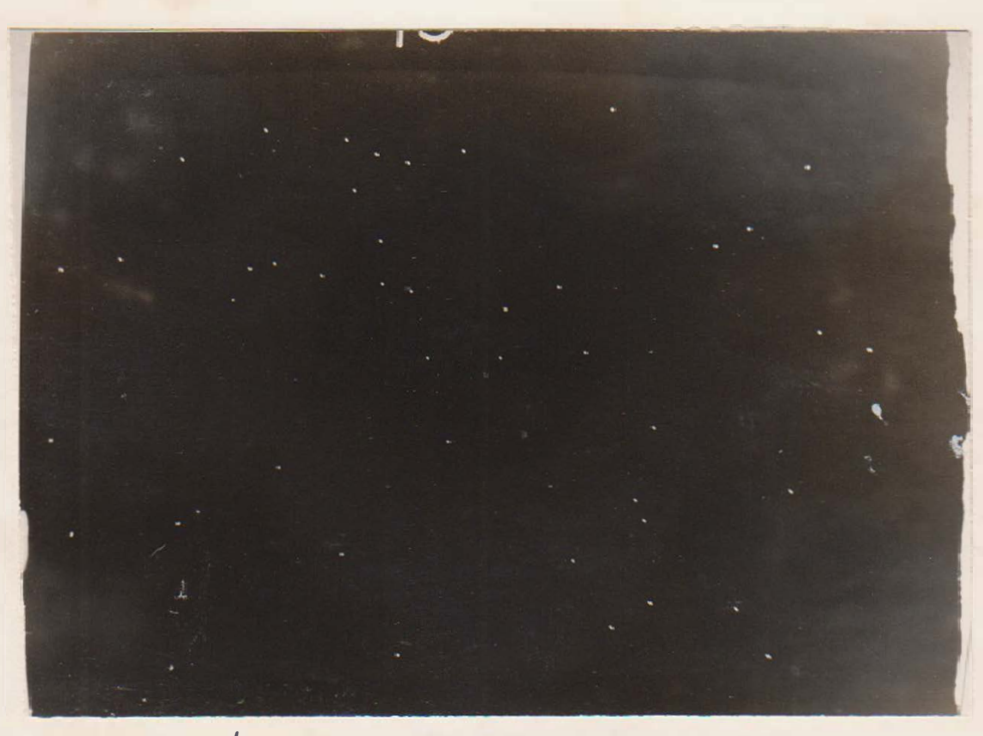
HOJA

No. 56__

Foto 1-R.



M-1 a-291,0 X



M-1 Los PUNTICOS BLANCOS INDICAN LA
Presencia Del Cr en la Foto superior

II.4- RESULTADOS DEL TRABAJO.

1.- El microscopio electrónico de transmisión nos permite ver la forma y como se encuentran asociadas las partículas en suspensión haciendo un análisis de ello encontramos:

Muestra # 1, (representativa de la pulpa de entrada).

En ella podemos encontrar diferentes formas en los cristales como son: alargadas, irregulares, tendiendo a ser redondeadas y formas tabulares planas, los cristales aparecen maclados.

Muestra # 2, (representativa del nivel 9,0 m. Aquí encontramos una zona que pudieramos denominar como campo de alta concentración de partículas en forma de agujas aciculares adheridas a un cristal con bordes irregular.

Muestra # 3, (representativa del nivel de 8,70 m o reboso). En este nivel aparecen cristales alargados casi redondeados, pudiendose denominar acicular redondeado.

Muestra # 4, (representativa del nivel de 8,40 m). En este nivel aparecen nuevamente cristales de forma acicular alargada con tendencia a formar campo.

Muestra # 5. (representativa del nivel de 7,95 mo Aquí aparecen cristales irregulares que parecen ser concreciones, vemos escasas hebras o agujas.

Muestra # 6, (representativa del nivel de 7,50 m).

Aparece un cristal irregular parece ser la unión de varios cristales más pequeños; es decir una concreción.

Muestra #8, (representativa del nivel de 6,45 m).

Aunque la nitidéz no es muy buena existe en la foto de este nivel un cristal casi transparente similar a una macla alrededor del cual giran partículas de forma de agujas pequeñitas aciculares y otras irregulares con tendencia a redondeadas.

Muestra # 9, (representativa del nivel 5,40 m). Es un es un campo de alta concentración de agujas pequeñitas, algunas partículas con tendencia a redondeadas y otras irregulares con bordes fibrosos o en forma de ebras muy finas pudiendose denominar como formas aciculares.

Muestra # 10, (representativa del nivel 4,95 m). De este nivel existen dos fotos en las que podemos apreciar la presencia de partículas en forma de agujas muy finas pequeñas y grandes, además partículas irregulares con bordes dentados compuestos de pequños cristales aciculares, algunos cristales casi esféricos. * ver fotos.

- * En las referencias bibliográficas [9] y [10] existen trabajos sobre goethita y hematita en los cuales con la adición de Mn, Al, y Si se obtienen formas similares a las nuestras.
- 2. Por su parte el microscopio electrónico de barrido nos dá la forma y el tamaño de las partículas del sólido seco como describimos a continuación.
- M 1, (representativa de la pulpa de entrada): En la misma el tamaño de las partículas oscila desde 44,36 μm hasta 102,72 μm, (éste diámetro (102,72) corresponde a una partícula de forma esponjosa, ver (foto No. 1); siendo las partículas de forma redondeadas o con tendencia a redondeadas las que más predominan en cuanto a cantidad y su tamaño va desde 58,78 62,66 μm, aunque también existen de forma irregular y alargada con tamaños de 72,09 y 88,79 μm.
- M 3, (representativa del nivel 8.70 m ó reboso): En la misma existen partículas desde 12,58 99,25 μm, predominando las de forma redondeada con tamaños de 51,84 82,95 μm, existiendo también formas irregulares con tamaños de 96,29 99,25 μm y alargadas desde 12,58 27,38 μm.
- M-4, (representativa del nivel 8.40 m): En esta el tamaño de partículas oscila desde 9.63 72,02 μ m, predominando las irregulares desde 11,41 72,02 μ m

estando dentro de ella las que tienden a ser redondeadas y alargadas de tamaño 9,63 - 14,58 μm, existe además una de forma alargada de 67,2 μm.

- M -5 (representativa del nivel 7,95 m): En esta las partículas que tienden a ser redondeadas con tamaños de 9,21 27,57 μm es decir son relativamente pequeñas, aunque hay una forma alargada de 40.06 μm y dos irregulares de 32,86 38,12 μm.
- M 6, (representativa del nivel 7.50 m π En esta predominan la partículas redondeadas 18,14 37,19 μm y las que tienen forma irregular e irregular con tendencia alargada y redondeada con tamaños de 10,50 32,66 μm, existen además dos formas alargadas de 38,79 39, 91 μm.
- M-7, (representativa del nivel 6,00 m). En esta predominan dos formas las alargadas con tamaños de 7,31 40,02 μ m y las que tienden a redondeadas con 7,31 25,53 μ m, destacandose esta última forma por ser la de menor tamaño.
- M 8, (representativa del nivel 6.46 m). En esta predominan casi todas las formas de partículas encontradas mas o menos en igual medida, con tamaño que oscilan desde 18.00 27.00 μm para las redondeadas y las que tienden a ser redondeadas;

HOJA

No. 61

23,60 - 70,33 μm para las alargadas y las que tienden a ser alargadas y 37,50 - 66,00 μm para las irregulares.

M - 10, (representativa del nivel 4.45 m). En esta predominan las partículas redondeadas y con tendencia a redondeadas que tienen tamaños de 8,16 - 35,40 μm, además existen partículas irregulares con tendencia a ser alargadas y redondeadas de tamaño 18,65 - 76,37 μm y 8,16 - 35,40 μm respectivamente.

Consideraciones acerca de la valoración anterior.

Tomando como referencia para analizar el tamaño de partícula un rango que oscile de 1 - 100 µm diriamos que de:

1 - 33 μm aproximadamente seran partículas pequeñas
34 - 63 μm " medianas
64 -100 μm " grandes

Agrupando las partículas por su tamaño y llevandola a la clasificación anterior tendremos que:

- En la muestra # 1, es decir el tamaño de las partículas en la pulpa de entrada al espesador se pueden clasificar como medianas y grandes.
- En las muestras # 3 y # 4 correspondiente a las primeras capas dentro del espesador el tamaño de sus

partículas casi se comporta como en la pulpa de entrada aunque ya aparece otro tamaño por lo que se clasificarian estas partículas en pequeñas, medianas y grandes.

- Por último podemos ver que la muestra # 9 y # 10 que son la capas más cercanas a la pulpa espesada el tamaño de las partículas puede clasificarse como pequeñas, medianas y grandes.
- En cuanto a la forma de las partículas podemos decir que la que más abunda de manera general es la forma redondeada o tendiendo a ella con un diámetro promedio de sus partículas por clasificación de tamaño de:

pequeñas = 18,95 μm.

medianas = 52,46 µm.

grandes = $73,31 \mu m$.

- Como formas secundarias podemos citar las partículas de formas irregulares con un diámetro promedio por clasificación de tamaño de:

pequeñas = 22,45 µm.

medianas = 42,99 µm.

grandes = 78,97 μm.

Le continuan las formas alargadas o con tendencia a ella con un diámetro promedio por clasificación de tamaño de:

pequeñas = 17,10 µm.

grandes = $73,73 \mu m$

medianas = 34,65 µm.

- En el análisis roengtnométrico de acuerdo al ángulo de barrido del equipo pudimos determinar la presencia de 4 elementos en las muestras analizadas por medio de un registro; ver (registro # 1), donde la intensidad de sus picos se corresponde aproximadamente con su concentración, determinada por análisis químico.

Estos son los elementos determinados con sus correspondientes ángulo:

131,73 Kα - Ni 139,59 Kβ - Fe 153,81 Kα - Fe167,0 Kα1 - Mn 181,94 Kα - Cr.

- Podemos apreciar además la forma del mineral compactado en su superficie y como se encuentran distribuidos los elementos químicos presente en ella. En este caso podemos ver en la (foto # 1.1) puntos que dan la presencia del Cr en la muestra.

Instituto Superior Minero Metalúrgico FACULTAD METALURGIA ELECTROMECANICA

HOJA

No. ___

PARTE FINAL

CONCLUSIONES

- 1. La composición mineralógica de la pulpa dentro del espesador hasta el nivel 4,95 m (último nivel de la suspensión), no se comporta igual que en la pulpa de entrada; ya que la fase secundaria principal que predomina en las diferentes capas es la magnetita, mientras que en la pulpa de entrada, no se puede definir si es la hidrargilita ó la magnetita por tener sus reflejos principales casi la misma intensidad.
- 2. La fase mineral principal es la goethita, siendo este de acuerdo a estudios anteriores el mineral de hierro mayor portador de niquel y esto parece justicarse con el análisis cuando vemos que los porcientos de hierro son elevados, observando que cuando el níquel alcanza su mayor valor (1,41 %), en la pulpa de entrada, el hierro tiene su menor valor (43,93 %).
- 3. Aunque el contenido de Cr es alto (3,43 %) en las muestras analizadas, en el análisis de fase no detectamos la cromita como mineral portador de ésta, pensamos que el contenido de cromo pueda estar dentro de una fase mineral clasificada como Espinela Férrica, ya que anteriormente se plantea de la existencia en el mineral limonítico de Cromo Espinelas.

Instituto Superior Minero Metalúrgico FACULTAD METALURGIA ELECTROMECANICA

HOJA

No. 65

- 4. Los cristales encontrados es el microscopio electrónico de transmisión en el sólido en suspensión en casi de todos los niveles del espesador tienen formas generalmente: acicular planas, y redondeadas, acicular en forma de agujas o ebras muy finas con pequeños cristales y que tienden a formar concreciones; siendo en las capas muy próximas a la pulpa espesada las zonas de altas concentraciones de éstas. Pensamos que estos cristales puedan estar formados principalmete por partículas de hierro y sílicio que según el análisis químico son las que su concentración tienen la mayor variación a través de su recorrido por las diferentes capas en el espesador.
- 5. Los tamaños de partículas presentes en el <u>sólido</u>

 <u>seco</u> analizados por el Microscopio Electrónico de

 Berrido podriamos clasificarlo de acuerdo a su

 predominio en:
- pequeñas: las que su diámetro oscila de (1- 33 μm) ocupando un 49.3 % de la masa total.
- medianas: las que su diámetro oscila de (34 -63 μm) ocupando un 33,73 % de la masa total.
- grandes: las que diámetro oscila (64 100 μm) ocupando un 16,86 % de la masa total.

Predominando en estas partículas formas redondeadas ó tendiendo a ellas y como secundarias tendríamos partículas irregulares y partículas con formas alargadas finalmente.

- 6. Debemos destacar que en cuanto a la forma de las partículas por el análisis de transmisión predominan las alargadas y por el análisis de barrido predominan las formas redondeadas, esto puede estar justificado porque según teoría las partículas redondeadas caen con mayor velocidad y las alargadas son planas por lo que tienden a flotar.
- 7. El análisis roentgnométrico por medio del microscopio electrónico nos permite valorar como se encuentran distribuido los elementos químicos en la masa mineral (en este caso sólo se pudo realizar al Cr) y si comparamos este resultado con el porciento obtenido en el análisis químico vemos que se corresponde aproximadamente con el número de puntos.

HOJA

No. 67

RECOMENDACIONES.

- 1. Que el muestreo para trabajos futuros debe ser representativo de los tres tanques espesadores y en diferentes periodos de sedimentación y diferentes zonas dentro del espesador.
- 2. Que para el análisis de difracción de rayos X se haga primeramente la separación granulométrica, y por fracciones magnética, no magnética y electromagnética de las muestras; con ello obtendriamos muestras más monomineral lo que traería mayores facilidades para la interpretación de los difractogramas y reflejos mejores definidos para cada fase mineral, además que para procesar estas muestras se escoja un ángulo de barrido mayor que en nuestro caso, proponemos de 5º-75°.
- 3. El trabajo debe continuarse ya que las técnicas de microscopía electrónica empleadas, ofrecen grandes posibilidades, (como el análisis de fluorescencia puntúal y otros), que no pudieron ser explotadas al máximo ya que el tiempo fue muy corto y no se tenía experiencia de trabajo en este campo.
- 4. Además proponemos trabajar en microscopía electrónica en la preparación de muestras patrones de minerales con la finalidad de conformar un atlas de

Institute Superior Minero Metalúrgico FACULTAD METALURGIA ELECTROMECANICA

HOJA

No. 68

fotos que posteriormente nos servirá para identificar los minerales presentes en las muestras a investigar, ya que actualmente no tenemos una referencia bibliográfica que nos permita definir las estructuras encontradas en nuestro trabajo como un tipo de mineral o elemento específico.

BIBLIOGRAFIA

- 1. García Gonzalez Mariela, B. A. Lucio. Estudio del Comportamiento del Titanio en el proceso hidrometalúrgico de la empresa "Cmdte. Pedro Sotto Alba", Trabajo de Diploma, 1984.
- 2. Bueno J. L., Gutierrez Lavin A. Teoría y Práctica de Sedimentación. Fundamentos de Sedimentación Espesamiento, Ingeniería Química, Núm 207/1986 174 p.
- 3. Grin R. E. Clay Mineralogy, Oxford/London/París
 /Neuw York, 1953, 380 p.
- 4. Landsberg G. S. Optica, editorial MIR Moscú, primer tomo, 1983, 486 p.
- 5. Hernández R. Gilberto, Matos A. G., Aguirre P. E.,

 Montero P. E. Proceso Industrial Metalúrgico

 del Níquel, editorial Pueblo y Educación,

 1983, 60 p.
- 6. Falcón Hernández José. Consideraciones sobre la sedimentación de la pulpa limonítica en la planta "Pedro Sotto Alba", Minería y Geología 2/1983, 224 p.
- 7. Ponce Nyls., Hernández N., Infante G., Cabrera I.,

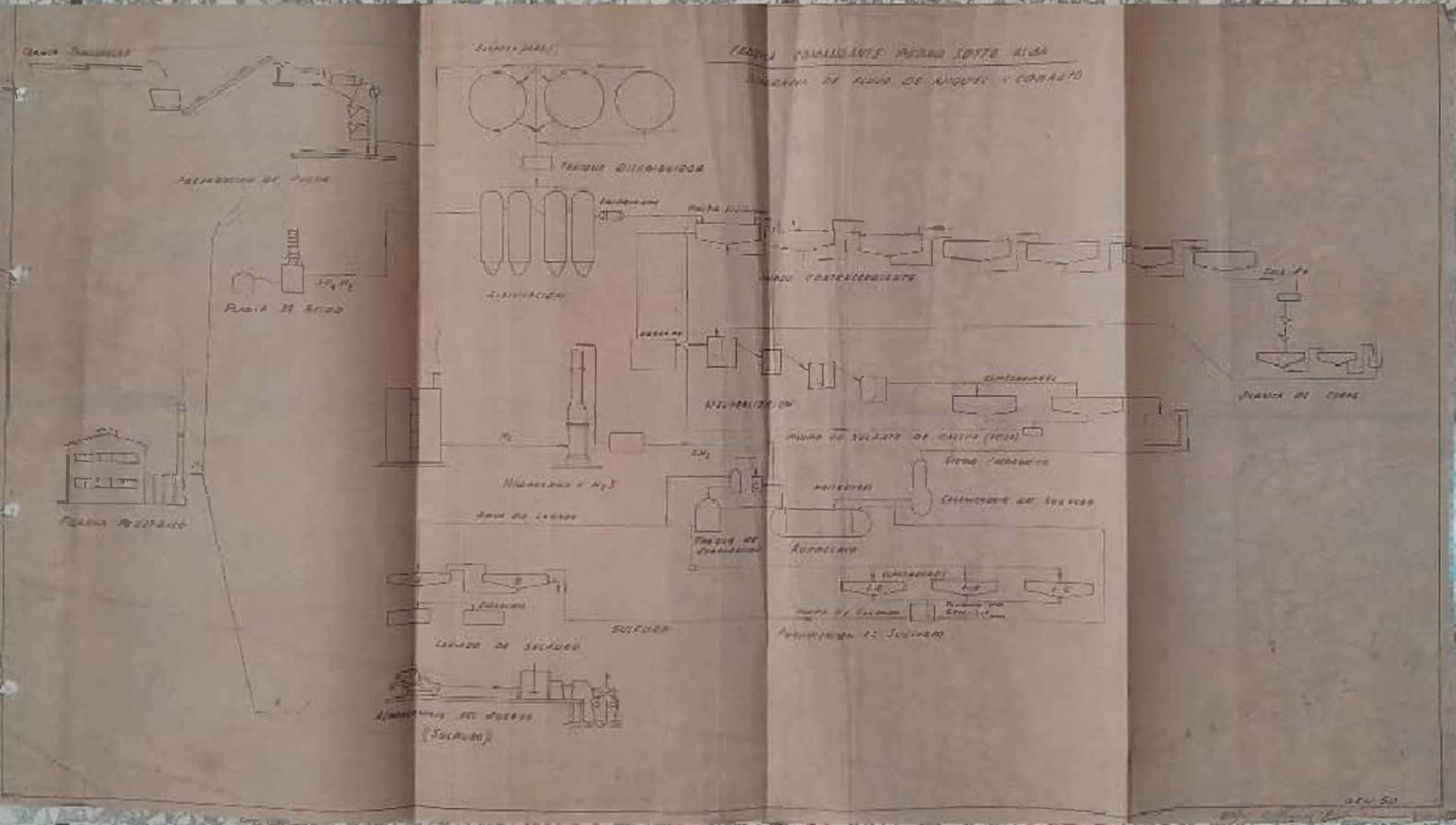
 Hidalgo M. Posible influencia de la composición

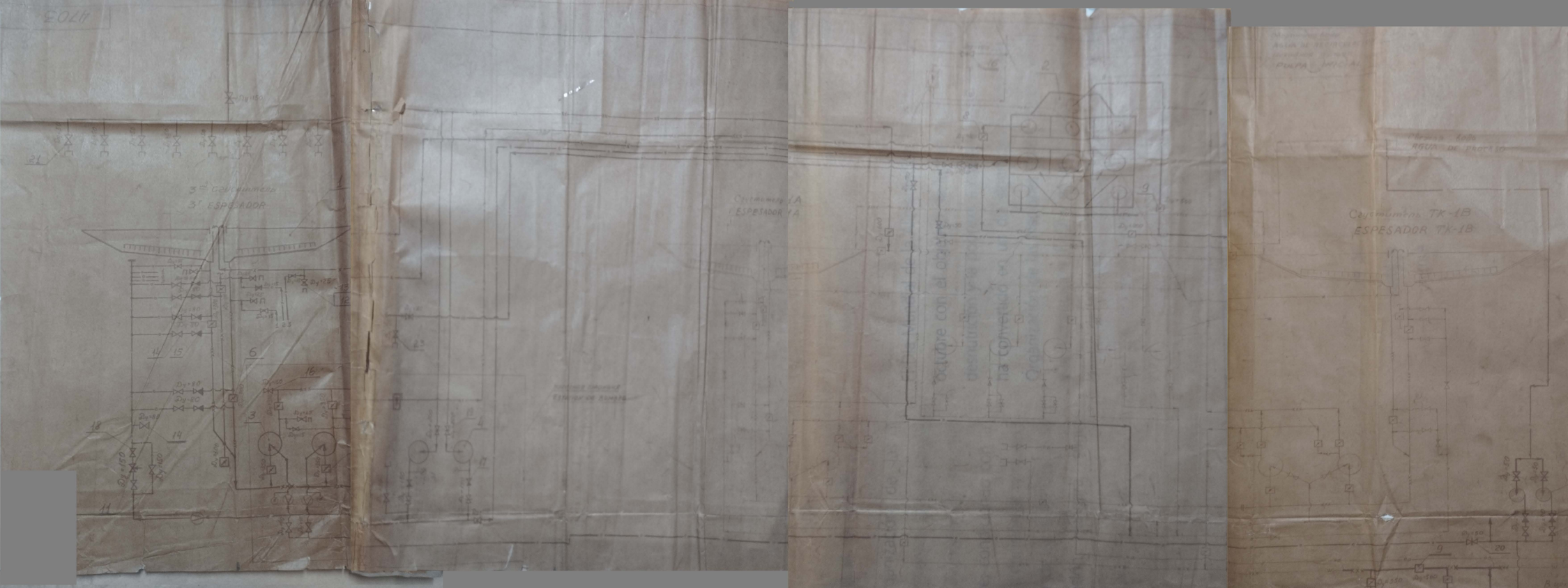
 mineralógica en la sedimentaciónde la pulpa

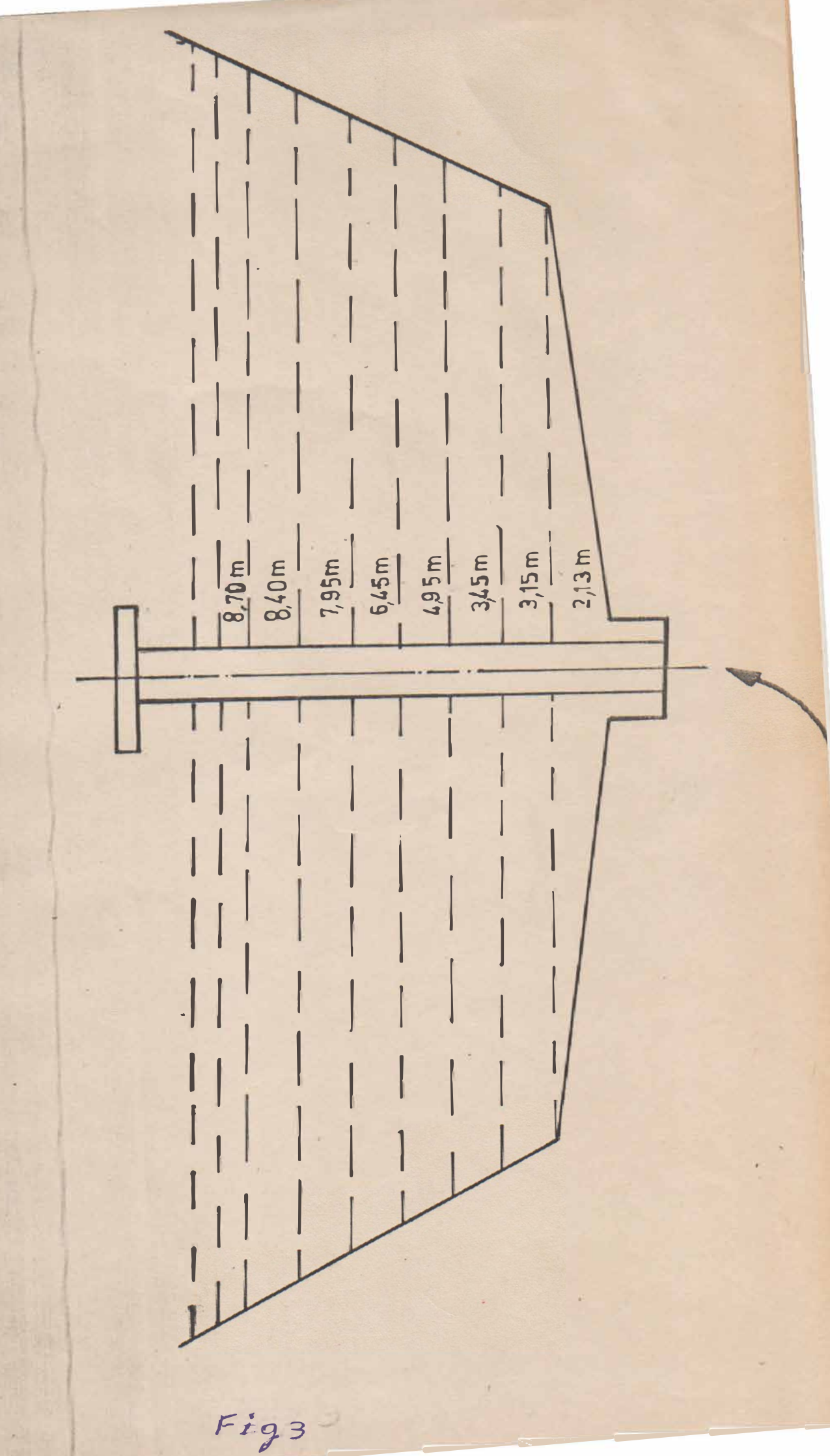
 cruda de Moa, Minería y Geología, 3/1983, 277p.

- 8. Quintana Puchol Rafael., González R. Estudio de la pulpa cruda del mineral laterítico del yacimiento de Moa (I): Análisis granulométrico Minería y Geología, 3/1984, 248 p.
- 9. Quintana Puchol Rafael. Estudio de la pulpa cruda del mineral laterítico del yacimiento Moa: análisis físico mineralógico, Minería y Geología, 1/1985, 198 p.
- 9. R. M. Cornell and R. Giovanoli., Effect of Manganeso on the trasnformation of Ferrihidrite into Goethite and Jacosite in Alkaline Media., Clays and Clay Minerals, v35, 1/1987, 80p.
- 10. R. M. Cornell and R. Giovanoli., Effect of silicate species en the transformation of Ferrihidrite into Goethite and Hematite in Alkaline Media., Clays and Clay Mineral, v35, 1/1987, 80 p.
- 11. Blanco Moreno J. A., Mineralogía de las Lateritas del sector "Atlantic" Moa, Trabajo de Diploma, 1985.
- 12. J. L. Bueno, A. Gutierrez Lavin y J. Coca.,
 Operaciones de Sedimentación Espesamiento, Ingeniería
 Químico, Núm 213/1986, 174 p.

- I.3 Anexos Gráficos y tablas.
- 1. Esquema General de la fábrica Cmdte. Pedro Sotto
 Alba. (Fig. No. 1)
- 2. Esquema del proceso técnologico de la Planta de Espesadores de Pulpa. (Fig. No.2)
 - 3. Esquema donde se representan las diferentes capas o niveles dentro del tanque espesador.
 (Fig. No. 3)
 - 4. Tabla del análisis químico. (Tabla # 1)
 - 5. Tablas patrones del A.S.T.M. (Tabla # 2)
 - 6. Tablas del análisis de fases por difracción de rayos X. (Tabla # 3)
 - 7. Tablas de tamaño de partículas por microscopía electrónica. (Tabla # 4)







Instituto Superior Minero Metalúrgico FACULTAD METALURGIA ELECTROMECANICA

HOJA

No. __

N.Muestra	% N	°°°°	% no	Fe %	% uz	Wn %	M g %	Na %	% ×	Ca %	Cr%	% 1 S
	141	0,153	6100	43,93	260'0	1,00	0,442	950'0	6,00	9000	3,431	10%
	no	70	no	017	по	200	£00'0	9100	6000	200'0	مہر	ng
	20	70	py	40	04	ou	800'0	810'0	1000	0,000	no	no
1	05'1	0,102	810'0	49,02	9600	0,72	1260	0,033	6,013	90000	2,379	3,83
	1,39	6113	810'0	48,16	4000	64'0	C, 317	0,035	p10'0	9000	3,466	3,13
	£6'1	60,133	\$100	46,60	大 ób	78'0	686,0	9800	0,000	9000	115'2	10%
	1,35	141'0	810'0	46,90	0,072	16'0	486'0	5600	010'0	500'0	2,631	4,80
	1,34	8610	810'0	ll'et	90 72	16'0	£85'0	P60'0	0,000	900'0	2,588	3,5 2
	1,33	OHÍO	810'0	46,04	1400	693	8000	0,033	0,010	900'0	2,673	3.
	1,33	1410	810'0	46,12	0600	66'0	6250	c E0'0	8000	900'0	2,660	06'1

9/4; por ser considerades como lientes Cry Si. - realizable por Fluorescenda De rayos - K. S.N. * .. Estos estan dados

Instituto Superior Minero Metalúrgico FACULTAD METALURGIA ELECTROMECANICA

HOJA

No. __

Tabla # 2. Patrones utilizados para la identificación de las fases minerales por rayos - X.

A. S. T. M.

GOETHI TA	(Fe203.	H20)

D (A°)	I/Io
4,98	12
4,18	100
3,38	10
2,69	35
2,58	12
2,48	10
2,45	50
2,25	14
2,19	18
1.71	20
1,56	10

A. S. T. M.

HEMATITA (Fe2O3)

D (A°)	I/Io
3,66	25
2,69	100
2,51	50
2,20	30
1,83	40
1,69	60
1,59	16
1,48	35
1,45	35
1,31	20

A. S. T. M.

HIDRARGILITA (Al 203. H20)

D CAO	1/10
4,82	100
4,34	40
4,30	20
3,35	10
2,44	16
2,37	20
2,03	12
1,98	10
1,79	10
1,67	10

A. S. T. M.

MAGNETITA (Fe304)

D (A°)	I/Io
4,85	8
2,96	30
2,53	100
2,42	8
2,09	20
1,71	10
1,61	30
1,48	40

Instituto Superior Minero Metalúrgico FACULTAD METALURGIA ELECTROMECANICA

HOJA

No. ___

continuación Tabla # 2.

A. S. T. M.

A. S. T. M.

ESPINELA FERRIC	A (Mgo. 8Fe5. 8Al 11032)	CUARZO	(Si O2)
D CA°)	I/Io	D (AO)	I/Io
2,47	100	4,26	35
1,45	60	3,34	100
2,05	45	2,45	12
2,90	40	2,23	6
1.56	40	2,12	9
4,73	20	1,98	6
1,07	20	1,81	17
1,67	10	1,54	15
1,38	20	1,37	11
1,29	4		
1.24	10		
1,23	2		

Instituto Superior Minero Metalúrgico FACULTAD METALURGIA ELECTROMECANICA

HOJA

No. ___

Tabla. # 3. Resultados de rayos X por muestras.

Muestra # 1

Muestra # 4

20	D	I	FM	20	D	I	FM
10,35	4,97	22,4	G	10,35	4,97	21,8	G
10,60	4,86	70,7	HI	10,60	4,86	62,1	HI
10,85	4,75	24,7	E	10,90	4,73	17,8	E
11,80	4,37	R. A	HI	11,80	4,37	R. A	HI
12,00	4,30	R.A	HI	12,00	4,30	R. A	HI
12,17	4,24	R.A	C	12,17	4,24	R.A	C
12,40	4,16	100,0	G	12,30	4,19	100,0	<u>G</u>
15,50	3,34	21,3	C, HI	15,50	3,34	35,7	C, HI
17,60	2,95	24,7	M	17,60	2,95	27,3	M
18,00	2,89	5.6	E	18,00	2,89	6,3	E
19,35	2,70	33,7	G, HE	19,35	2,70	41,0	G.HE
20,37	2,57	17,9	G	20,35	2,57	29,4	G
20,30	2,51	69,7	HE.M	20,30	2,51	68,4	HE.M
21,20	2,47	42,6	E	21,30	2,46	52,6	E
21,40	2,45	62,9	G	21,50	2,44	71,5	G
23,70	2,22	17,9	HE	23,80	2,21	18,9	HE
24,05	2,19	21,3	G	24,25	2,17	26,3	G
25,40	2,08	13,4	М	25,35	2,09	21,0	M
25,90	2,04	7,4	E	25,90	2,04	10,5	E
29,70	1,80	8,9	C	29,50	1,81	14,7	C,HE
31,56	1,71	25,8	G,M,	31,35	1,71	29,4	G.M.

La rayita significa reflejo principal del mineral.

Muestra # 5

Muestra # 6

Øθ	D	I	FM	Ø0	D	I	FM
10,40	4,95	21,9	G	10,35	4,97	24,3	G
10,70	4,81	61,5	HI	10,65	4,84	60,9	HI
10,90	4.73	23,1	E	10,90	4,73	20,8	E
11,80	4,37	R.A	HI	11,80	4,37	R.A	HI
12,00	4,30	R. A	HI	12,00	4,30	R. A	HI
12,17	4,24	R. A	C	12,17	4.24	R. A	C
12,40	4,16	100,0	G	12.35	4,18	100,0	<u>G</u>
15,55	3,33	27,4	C.HI	15,50	3,34	25,6	C, HI
17,70	2,94	34,0	M	17,70	2,94	36,5	M
17,95	2,89	17,5	E	18,00	2,89	14,6	E
19,40	2,69	48,3	G, HE	19,50	2,68	48,7	G, HE
20,35	2,57	31,8	G	20,30	2,57	30,4	G
20,85	2,51	78,0	HE.M	20,80	2,51	80,4	HE, M
21,30	2,46	45,3	E	21,35	2,46	57,3	E
21,50	2,44	82,4	G	21,50	2,44	81.7	G
23,80	2,21	26,3	HE	23,75	2,22	26,8	HE
24,15	2,19	35,6	G	24,20	2,18	34,1	G
25,45	2,10	20,8	M	25,40	2,08	23,1	M
25,90	2,04	16,4	E	26,10	2,03	17,0	E
29,70	1,80	20,3	C	29,55	1,81	20,7	C
31,40	1,71	36,2	G,M,	31,60	1,70	40,2	G,M,

donde: G: Goethita; M: Magnetita; HI: Hidrargilita;

E; Espinela Férrica; HE; Hematita; C: Cuarzo.

Instituto Superior Minero Metalúrgico FACULTAD METALURGIA ELECTROMECANICA

HOJA

No. ___

Muestra # 7

20	D	I	FM
10,45	4,93	26,0	G
10,70	4,81	65,6	HI
10,87	4,73	25,0	E
11,80	4,37	R.A	HI
12,00	4,30	R.A	HI
12,17	4,24	R.A	C
12,40	4,16	100,0	<u>G</u>
15,50	3,34	27,0	C, HI
17,72	2,93	32.2	M
18,00	2,89	12.5	E
19,50	2,68	46,8	G.HE
20,45	2,56	32,2	G
20,80	2,51	81,7	HE, M
21,35	2,46	57,3	E
21,55	2,43	73,9	G
23,70	2,22	90,9	HE
24,20	2,18	27,0	G
24,90	2,11	17,1	M
25,70	2,00	29,1	E
29,50	1,81	16,6	C
31,80	1,69	36,4	G,M,

Muestra # 8

28	D	I	FM
10,45	4,93	25,0	G
10,70	4,81	69,1	HI
10,90	4,73	20,2	E
11,80	4,37	R. A	HI
12,00	4,30	R. A	HI
12,17	4,24	R.A	C
12,40	4,16	100,0	<u>G</u>
15,55	3,35	30,5	C.HI
17,70	2,94	34,0	M
18,00	2,89	17,2	E
19,40	2,69	51,0	G. HE
20,35	2,57	27,6	G
20,80	2,51	87,2	HE, M
21,30	2,46	55,3	E
21,50	2,44	74.4	G
23,55	2,23	31,9	HE
24,15	2,18	29,7	G
25,40	2,08	26,5	M
25,70	2,06	12,7	E
29,50	1,81	15,0	C
31,48	1,71	35,1	G,M,

Muestra # 9

28	D	I	FM
10,35	4,97	25,0	G
10,64	4,84	77,5	HI
10,80	4,73	25,0	E
11,80	4,37	R.A	HI
12,00	4,30	R.A	HI
12,17	4,24	R.A	C
12,40	4,18	100,0	<u>G</u>
15,40	3,36	22,5	C. HI
17,50	2,97	31,2	M
19,30	2,70	51,2	G. HE
20,30	2,57	33,7	G
20,75	2,52	90,0	HE, M
21,30	2,46	00,2	E
21,45	2,44	82,5	G
23,50	2.23	28,2	HE
24,05	2,19	36,2	G
25,27	2,09	27,5	M
25,80	2,05	15,0	E
29,40	1,81	17,7	C
31,55	1,71	42,5	G, M,

Øθ	D	I	FM
10,35	4,97	25,7	G
10,62	4,85	60,8	HI
10,80	4,73	25,1	E
11,80	4,37	R. A	HI
12,00	4,30	R. A	HI
12,17	4,24	R. A	C
12,27	4,20	100,0	<u>G</u>
15,50	3,34	35,0	C.HI
17,60	2,95	30,4	M
17,60	2,95	30,4	G, HE
19,35	2,70	45,6	G
20,52	2,55	88,8	HE, M
21,30	2,46	60,8	E
21,45	2,44	77.1	G
23,60	2,23	32,7	HE
24,10	2,19	32,7	G
25,30	2,11	21.0	M
25,95	2,04	18,1	E
29,45	1,81	19.9	C
31,45	1,71	36,2	G,M,

Trabajo	de
Diplom	a

Instituto Superior Minero Metalúrgico FACULTAD METALURGIA ELECTROMECANICA

HOJA

No. ___

Tabla 4. Tamaño de Partículas por Microscopia Electrónica de Barrido.

Muestra # 1

F	No. Par ticula	Tamaño de particula (en μm).	Forma de la partícula
1	1	102,72	esponjosa
2	2	72,09	irregular
2	3	58,78	tendencia redondeada
2	4	62,66	
2	5	58,78	
2	6	58,78	10
2	7	68,21	irregular
2	8	45,47	*
2	9	44,36	"
	10	44,36	
2	1.1	88,73	alargada

F	No. Par tícula	Tamaño de particula (en µm).	Forma de la partícula
1	1	27,38	alargada
1	2	12,58	***
2	4	96,29	irregular
2	Ó	82,95	redondeada
2	7	99,25	irregular
2	8	64,80	irregular
2	9	56,29	redondeada
2	10	51,84	
2	11	72,20	•

Instituto Superior Minero Metalúrgico FACULTAD METALURGIA ELECTROMECANICA

HOJA

No. __

continuacion Tabla # 4.

Muestra # 4

-			
F	No. Par ticula	Tamaño de particula (en µm).	Forma de la partícula
1	1	67,20	alargada
1	2	27,89	ovalalada
1	3	14,58	irreg. tiende redondea
1	4	11,79	" alargada
1	5	9,63	redondeada
1	Ó	11,41	irregular
2	7	72,02	4.6
2	8	45,67	
2	9	44.4	"
2	10	29,0	"

_			
F	No. Par tícula	Tamaño de partícula (en µm).	Forma de la particula
1	1	27,57	tiende a redondeada
1	2	9,21	" " "
1	3	11,39	11 59
1	4	15,03	irreg tiende redondea
i	5	10,67	
2	d	26,81	tiende a redondeada
2	7	38.12	irregular
2	8	40,06	atargada
2	9	32,86	irregular
2	10	15,77	redondeada
2	11	19,80	

Instituto Superior Minero Metalúrgico FACULTAD METALURGIA ELECTROMECANICA

HOJA

No.

Muestra # 6

No. Par tícula	Tamaño de partícula (en µm).	Forma de la partícula
1	39,91	alargada
2	22,86	redondeada
3	25,40	
4	37,19	•
5	29,52	
G	27.58	
7	18,14	
8	39,91	alargada
9	32,66	irreg tiende redondea
10	30,79	alargada
1.1	23,56	irregular
12	26,44	
13	22,51	
1.4	10,50	
15	13,29	**
16	14,37	tendencia alargada
	ticula 1 2 3 4 5 6 7 8 9 10 11 12 13 14	ticula (en µm). 1

F	No. Par tícula	Tamaño de particula (en μm).	Forma de la particula
1	1	38,57	alargada
1	2	7,91	
1	3	9,44	
1	4	25,53	irreg tiende redondea
1	5	7,3i	tendencia redondeada
1	d	8,37	
1	7	8,24	0
2	8	40,02	alargada
2	9	22,08	
2	10	21,04	tendencia redondeada
2	11	41,40	irregular

Instituto Superior Minero Metalúrgico FACULTAD METALURGIA ELECTROMECANICA

HOJA

No.

Muestra # 8

-	F		
F	No. Par ticula	Tamaño de partícula (en µm).	Forma de la particula
1	1	40,83	alargada
1	2	32,98	tendencia redondeada
1	3	38,79	irregular
1	4	30,62	ds
1	5	50,25	16
1	6	37,69	alargada
1	7	43,10	irregular
2	8	47,63	*
2	9	20,86	tendencia alargada
2	10	24,93	irregular

F	No. Par tícula	Tamaño de partícula (en µm).	Forma de la partícula
1	1	oo, oo	irregular
1	2	37,50	**
1	9	69,00	alargada
1	4	27,00	tendencia redondeada
1	5	18,00	redondeada
1	O	22,90	tendencia redondeada
2	7	70,93	alargada
9	8	23,60	irreg tiende alargada

Instituto Superior Minero Metalúrgico FACULTAD METALURGIA ELECTROMECANICA

HOJA

No. __

Muestra # 10

F	No. Par tícula	Tamaño de partícula (en µm).	Forma de la particula
1	1	14.22	tendencia redondeada
1	2	21,68	
1	3	13,99	
1	4	18,65	irreg tiende alargada
1	5	8.10	tendencia redondeada
1	6	9,32	
2	7	76,37	irreg tiende alargada
2	8	35,40	tendencia redondeada
2	9	17,13	redondeada
2	10	22,84	redondeada
2	11	37,82	irregular
2	12	32,83	tendencia redondeada
2	13	19,98	

F. - # de foto.